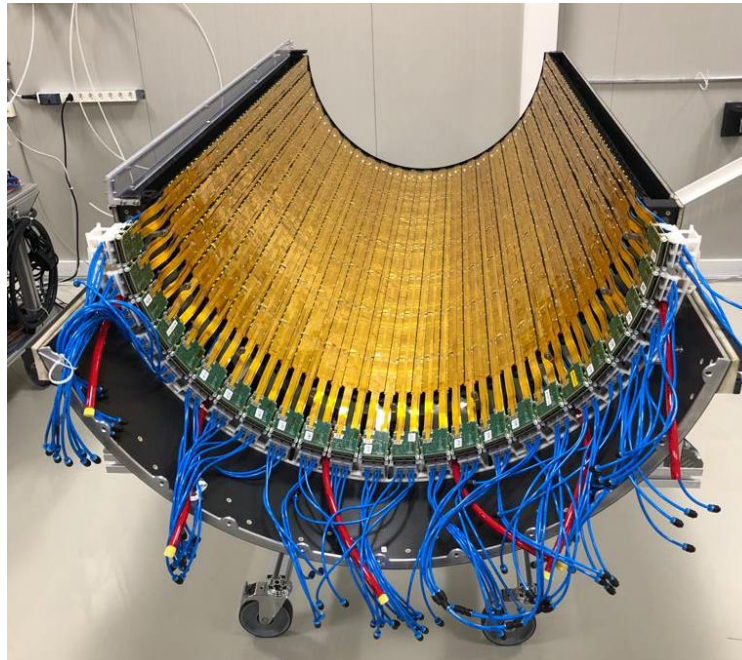


Esperimentazioni 2

A.A. 2024/25 Ottica e Fisica Moderna

Docenti e contatti

- Maxim Alekseev, Stefania Beol , Michela Chiosso
- Stefania Beol :
 - UFFICIO: 1 piano istituto vecchio, tel 0116707368
 - CONTATTI: email: stefania.beole@unito.it skype: stefania.beole
webex: <https://unito.webex.com/meet/stefania.beole>
 - RICEVIMENTO: in orario flessibile, previo appuntamento. Ma se bussate e sono in ufficio siete sempre benvenuti
- Attivit  di Ricerca:
 - Progettazione e costruzione di rivelatori a stato solido di particelle cariche per sistemi di tracciamento e tempo di volo
 - Monolithic Active Pixel sensors
 - Silicon Drift Detectors
 - Esperimento ALICE a CERN LHC
 - Esperimento Limadou2 su satellite



semi cilindro dell'ITS di ALICE



Foto di Stefania Beol  fatta con rivelatore ALPIDE (CMOS MAPS particle detector)

Struttura del corso

Lezioni introduttive

- Argomenti: richiami di ottica geometrica, ottica fisica e descrizione degli strumenti e delle esperienze

Esperimentazioni in laboratorio

- Misura della distanza focale di un sistema di lenti
- Misura dell'indice di rifrazione del vetro in funzione della lunghezza d'onda della luce incidente con il metodo della deviazione minima in un prisma equilatero
- Verifica della legge di Malus;
- Misura della concentrazione di zucchero in un liquido con il Polarimetro di Laurent
- Interferometro di Michelson & Morley
- Misura della costante di Planck
- Osservazione di fenomeni di interferenza e diffrazione con fenditure e reticoli
- Misura del coefficiente di assorbimento di un liquido;

Introduzione

Il corso si propone di verificare fenomeni di ottica (geometrica e fisica) attraverso esperienze di laboratorio

Ogni esperienza prevede di utilizzare strumenti ottici semplici (lenti, prismi, reticoli, filtri polarizzanti,...) e complessi (canocchiali, polarimetri, spettroscopi,...)

La metodologia seguita per l'acquisizione dei dati dipende dalla singola esperienza: alcune prevedono misure ripetute, altre misure singole.

Lo studio degli errori risulta particolarmente critico e le sorgenti di errore verranno discusse nel dettaglio per ogni caso specifico

TESTO consigliato: Fisica II, Mazzoldi Nigro Voci -

qualunque testo di Ottica in vostro possesso puo' essere usato come riferimento per la preparazione dell'esame

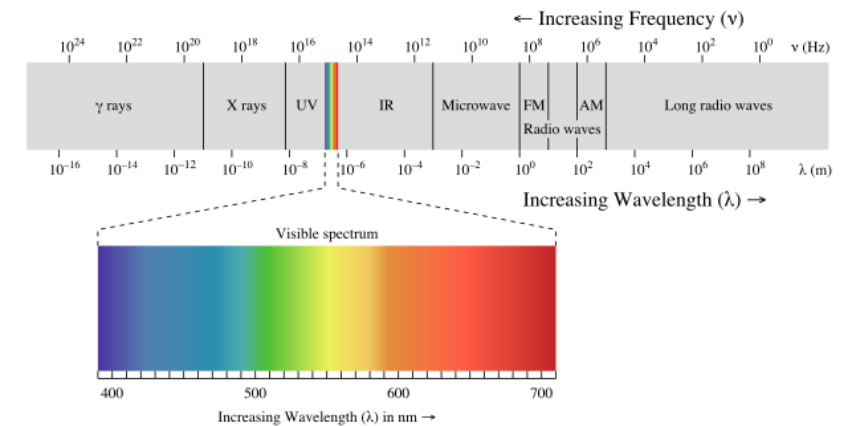
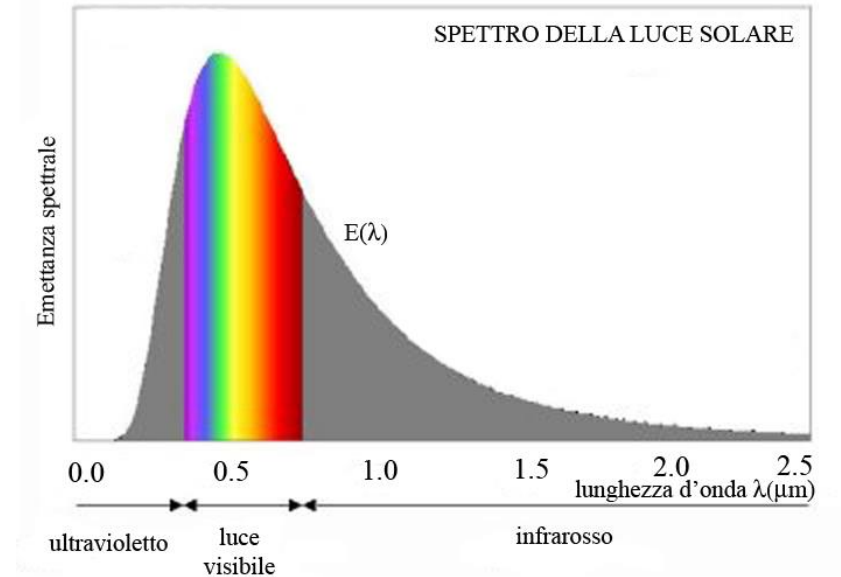


Lezione 1

La propagazione della luce

La luce visibile

- Le esperienze verranno svolte sfruttando sorgenti di luce visibile: la luce visibile consiste nella parte dello spettro della radiazione elettromagnetica compresa tra 400 e 700nm
- E' centrata sul picco dello spettro di emissione del sole
- Tra le diverse possibili sorgenti di luce utilizzeremo sorgenti che possono generare spettri continui (a incandescenza, alogene), spettri a righe (lampade a gas) oppure monocromatiche (laser o led)



Onde elettromagnetiche

- L'esistenza delle onde elettromagnetiche fu prevista da Maxwell, il quale dimostrò come in effetti esse siano contenute nelle *equazioni integrali*, valide nello *spazio vuoto senza cariche e correnti*

$$\text{I} \quad \oint \mathbf{E} \cdot \mathbf{u}_n d\Sigma = 0$$

$$\text{II} \quad \oint \mathbf{B} \cdot \mathbf{u}_n d\Sigma = 0$$

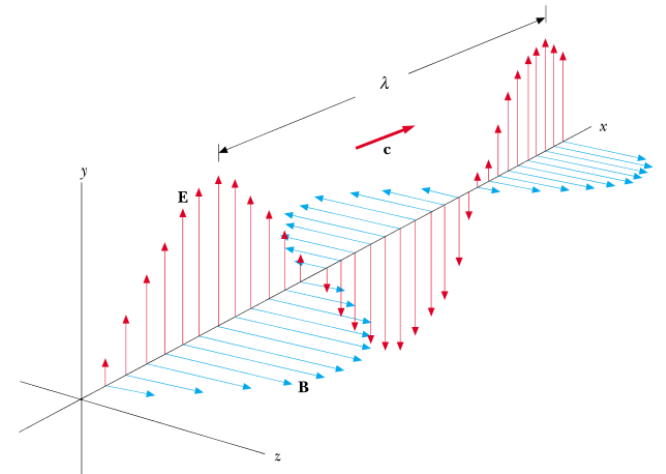
$$\text{III} \quad \oint \mathbf{E} \cdot d\mathbf{s} = -\frac{d\Phi(\mathbf{B})}{dt}$$

$$\text{IV} \quad \oint \mathbf{B} \cdot d\mathbf{s} = \epsilon_0 \mu_0 \frac{d\Phi(\mathbf{E})}{dt}$$

- La prova sperimentale dell'esistenza delle onde elettromagnetiche è dovuta a **Hertz (1888)**. Per generarle Hertz usò sorgenti elettriche, ovvero dispositivi in cui le cariche elettriche di un conduttore venivano poste in rapida oscillazione
- **consideriamo onde elettromagnetiche piane**, onde per le quali, fissata una certa direzione di propagazione x il **campo elettrico** $\mathbf{E}(x,t)$ e il **campo magnetico** $\mathbf{B}(x,t)$ risultano **costanti nel piano yz** , in ciascun istante.
- La soluzione della prima e seconda equazione di Maxwell in queste ipotesi mostra che il **campo elettrico** $\mathbf{E}(x,t)$ e il **campo magnetico** $\mathbf{B}(x,t)$ devono avere necessariamente **componente nulla rispetto all'asse x** ,

$$E_x(x,t) = B_x(x,t) = 0$$

- **onde elettromagnetiche piane: trasversali rispetto alla direzione di propagazione.**



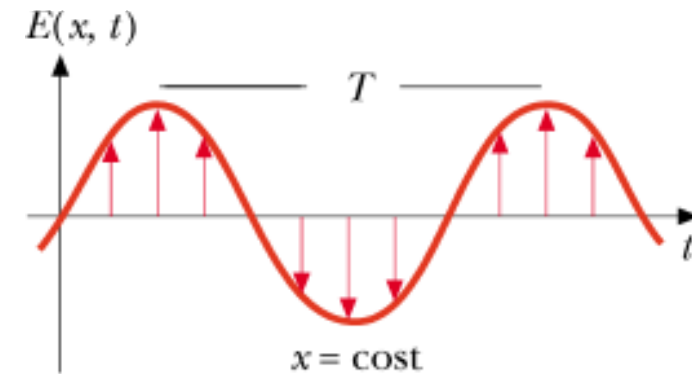
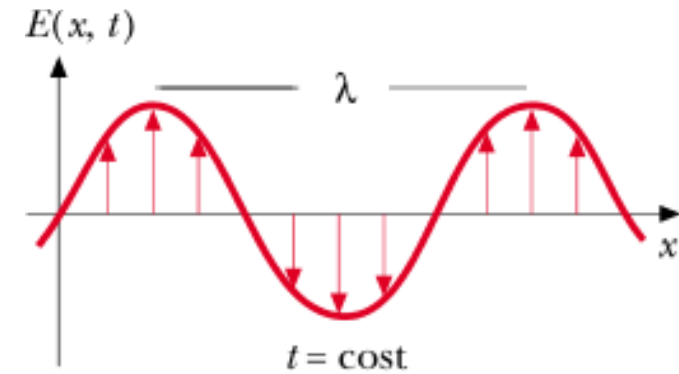
Onde piane armoniche: campo elettrico E

- Funzione d'onda:

$$E(x, t) = E_0 \sin k(x - v t)$$

$$E(x, t) = E_0 \sin(kx - \omega t)$$

- Ampiezza: E_0
- numero d'onda: k
- velocità di propagazione v
- pulsazione $\omega = k v$

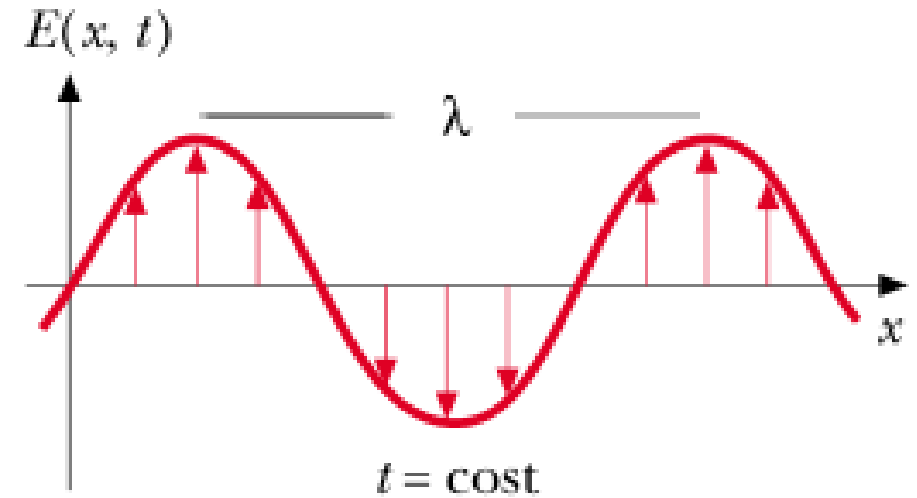


Lunghezza d'onda

- Se fissiamo un determinato istante t_0 la funzione d'onda rappresenta, in quell'istante, il valore della funzione d'onda $E(x, t_0)$ in tutti i punti dell'asse x :
 - **sinusoide nella variabile x**
 - **si ripete identica per ogni coppia di punti consecutivi x_1 e x_2 tali che $k(x_2 - x_1) = 2\pi$.**
- La distanza $\lambda = x_2 - x_1$ data da:

$$\lambda = \frac{2\pi}{k} \quad \left(\Rightarrow k = \frac{2\pi}{\lambda} \right)$$

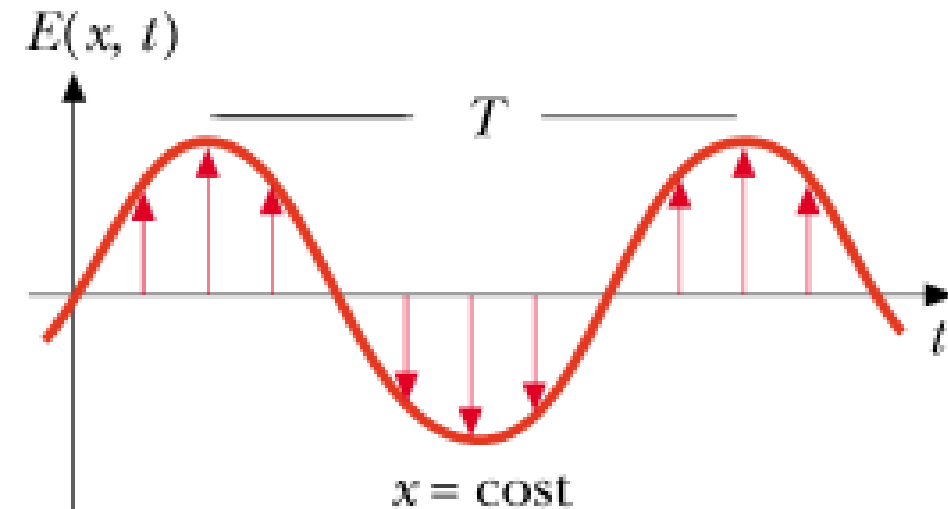
è detta **lunghezza d'onda** dell'onda armonica



Periodo dell'onda

- Se fissiamo una determinata posizione $x = x_0$ possiamo studiare nel punto di coordinata x_0 , la variazione nel tempo della funzione d'onda $E(x_0, t)$.
 - Variazione armonica ->
 - la funzione d'onda ha lo stesso valore in t_1 e t_2 tali che $\omega(t_2 - t_1) = 2\pi$
- L'intervallo di tempo $T = t_2 - t_1$ è il **periodo** dell'onda armonica ed è legato alla pulsazione dalla relazione

$$T = \frac{2\pi}{\omega}$$

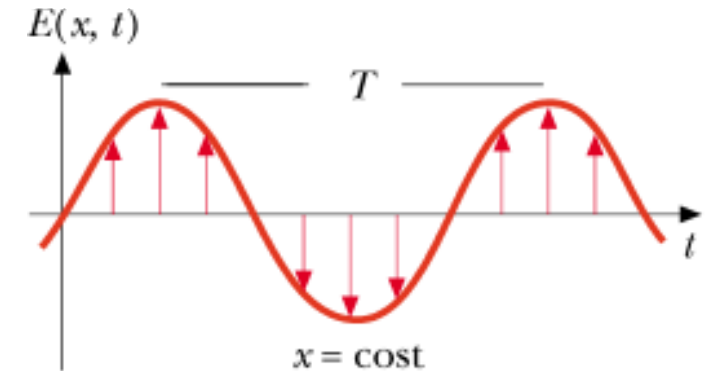
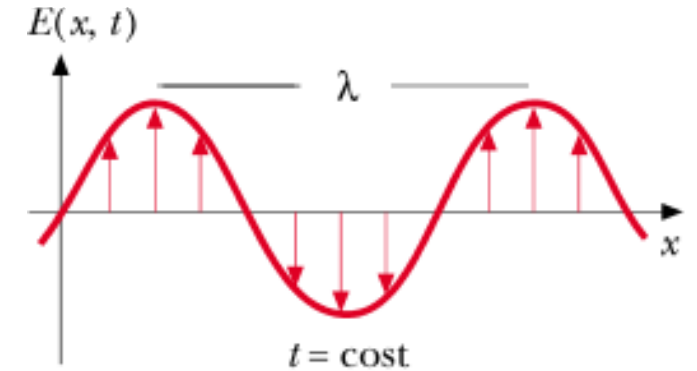


La velocità di propagazione dell'onda si può esprimere in termini di periodo e lunghezza d'onda come:

$$v = \frac{\lambda}{T}$$

Onde piane armoniche:

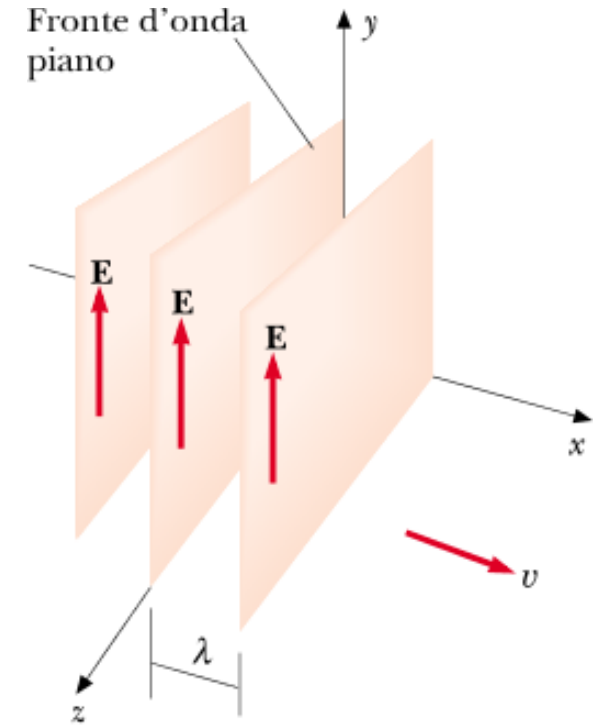
- Funzione d'onda: $E(x, t) = E_0 \sin(kx - \omega t)$
- le grandezze caratteristiche di un'onda chiaramente *non sono indipendenti*.
 - il periodo T , la frequenza $\nu=1/T$, la pulsazione ω sono determinate *solamente* dalle caratteristiche della *sorgente*
 - se ad esempio la sorgente delle onde elettromagnetiche fosse un circuito risonante LC , allora $\omega = 1/\sqrt{LC}$
- Invece la velocità di propagazione e quindi λ e k , dipendono dal mezzo in cui si propaga l'onda:
 - vuoto: $v=c$
 - mezzo: $v=c/n$ (n = indice di rifrazione del mezzo)



$$c = \frac{1}{\sqrt{\epsilon_0 \mu_0}} = 2.99792 \cdot 10^8 \text{ m/s}$$

Fronte d'onda piano

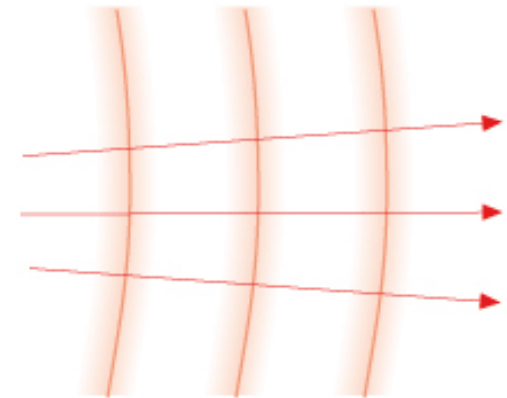
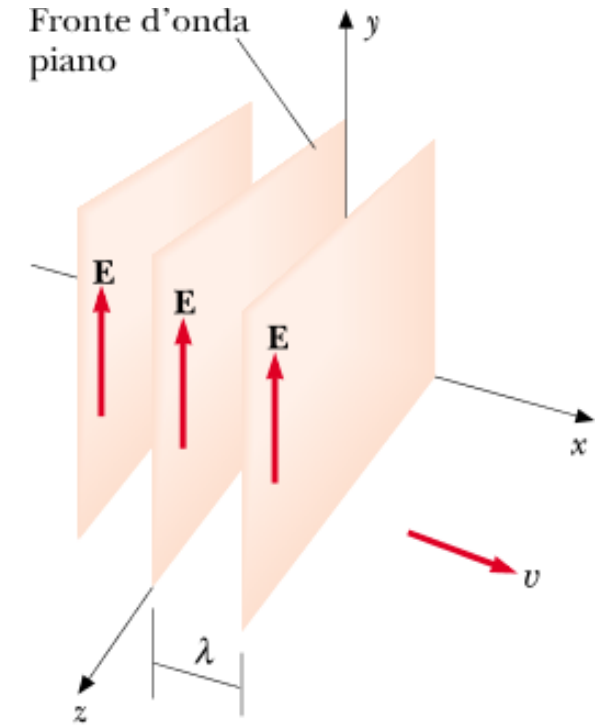
- La propagazione di un'onda elettromagnetica piana può essere descritta partendo dal concetto di **fronte d'onda** .
- FIGURA: il piano, che interseca l'asse x in una generica posizione, è il luogo dei punti nei quali il campo elettrico ha lo stesso valore
 - Definiamo ϕ = **fase dell'onda** = argomento della funzione d'onda
 - ϕ **ha nei punti del piano lo stesso valore**
-> il piano si chiama **fronte d'onda**



$$\phi = kx - \omega t$$

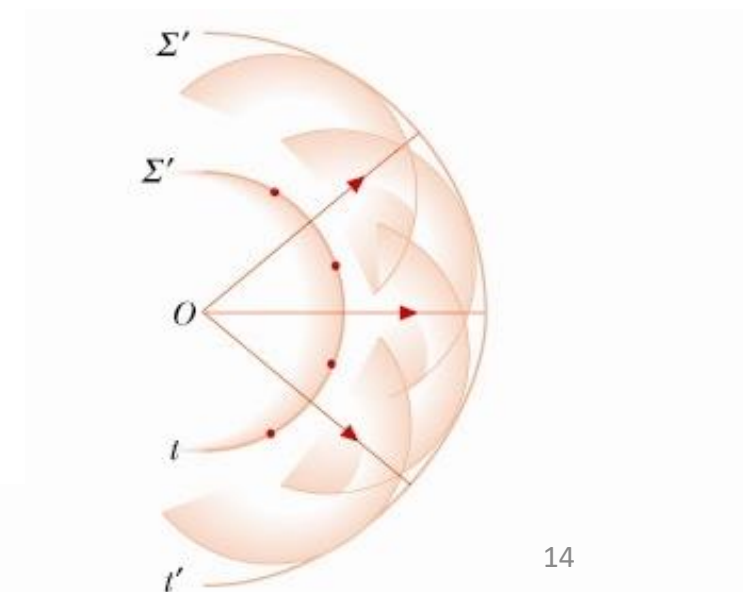
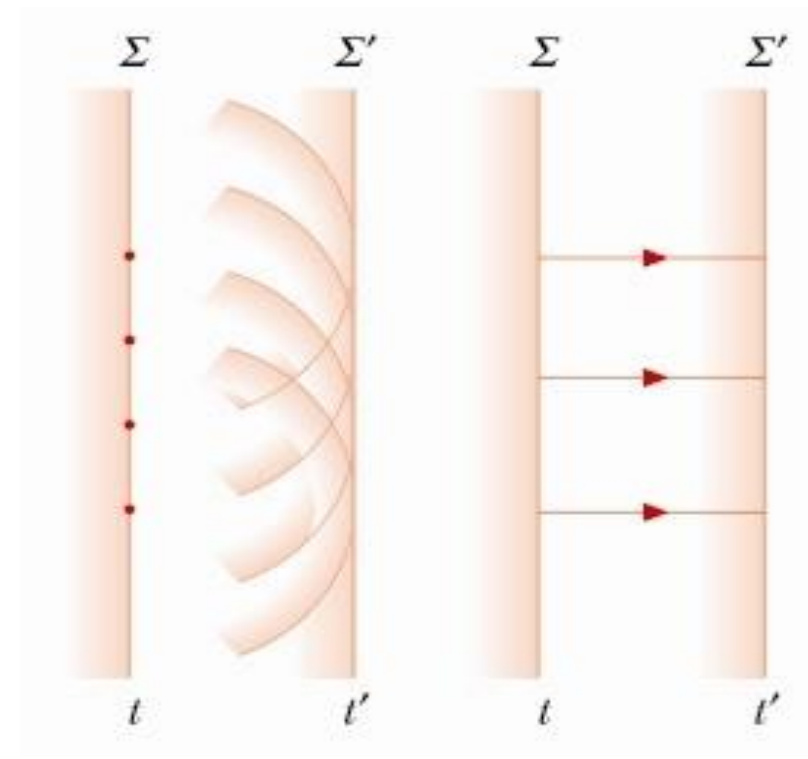
Fronte d'onda

- Il secondo piano, distante λ dal primo, ripete la stessa identica situazione con uno sfasamento di 2π e così il terzo rispetto al secondo. Possiamo dire che un qualsiasi fronte d'onda piano si sposta, sempre rimanendo perpendicolare alla direzione di propagazione, con velocità \mathbf{v} percorrendo in un tempo T la distanza λ .
- La nozione di fronte d'onda si generalizza a onde non piane, conservando il significato di **superficie** nei cui punti la fase in un certo istante è costante.



La propagazione della luce (1)

- Consideriamo un fronte d'onda, piano, sferico ecc... Una **linea ortogonale al fronte d'onda** in un punto rappresenta, in quel punto, la **direzione di propagazione dell'onda**
 - Il principio di Huygens-Fresnel, giustificato formalmente dal teorema di Kirchhoff, consente di determinare fronti d'onda a istanti successivi
- In un **mezzo isotropo** la luce si propaga per raggi rettilinei, ortogonali ai fronti d'onda che sono comunemente definiti “raggi luminosi”
 - Una sorgente isotropa emetterà raggi in ogni direzione

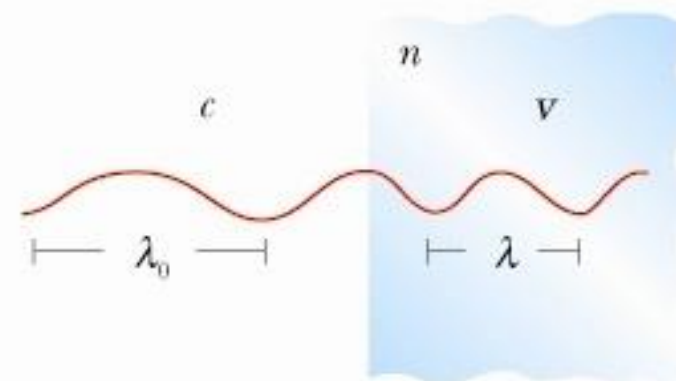


La propagazione della luce nei mezzi

- Le onde elettromagnetiche possono propagarsi anche in mezzi materiali che abbiano determinate caratteristiche:
- mezzi dielettrici ideali**, materiali aventi proprietà magnetiche trascurabili
 - $\chi_m = 0$, $\kappa_m = 1$, $\mu = \mu_0$
 - caratterizzati dalla costante dielettrica relativa κ_e
- la teoria di Maxwell prevede che in questi mezzi possano propagarsi onde elettromagnetiche piane, con velocità

$$v = \frac{1}{\sqrt{\epsilon \mu_0}} = \frac{c}{\sqrt{\kappa_e}} = \frac{c}{n},$$

$$n = \frac{c}{v} = \sqrt{\kappa_e}$$



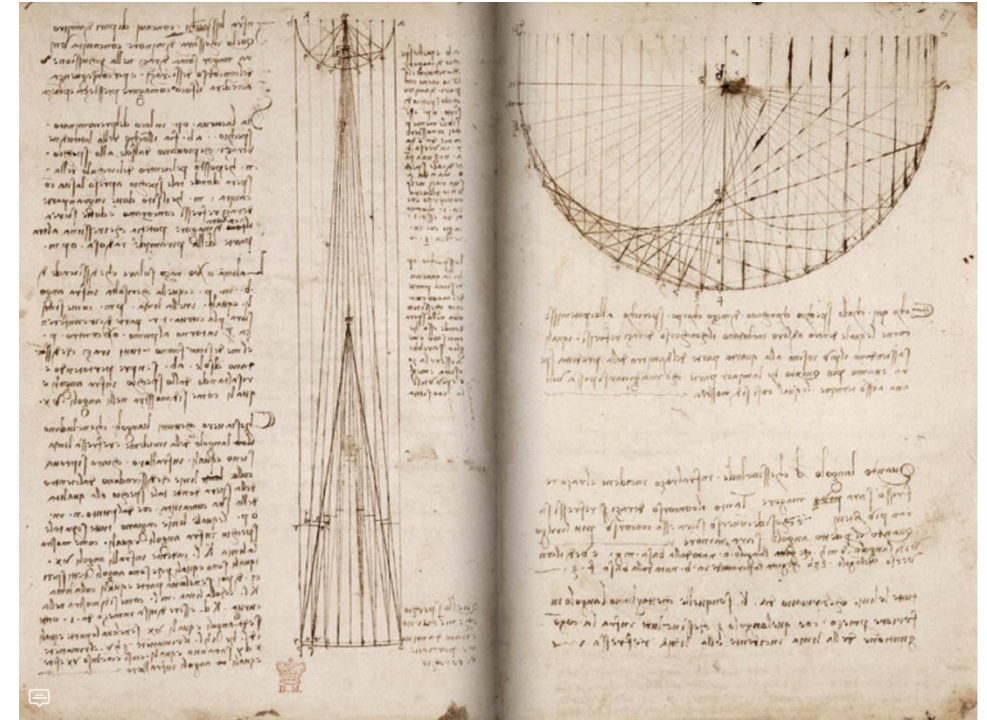
$$n = \frac{c}{v}$$

$$\lambda = \frac{\lambda_0}{n}$$

l'indice di rifrazione n assume valori >1
 aria secca: $n \sim 1$
 acqua: 1.33
 vetro: 1.4-1.6

Ottica geometrica

- E' il ramo più antico dell'ottica (Euclide III secolo AC)
- descrive la propagazione della luce in uno o più mezzi trasparenti
- studia le proprietà degli strumenti ottici
- le leggi dell'ottica geometrica restano valide fintanto che la luce interagisce con oggetti di dimensione molto maggiore della sua lunghezza d'onda

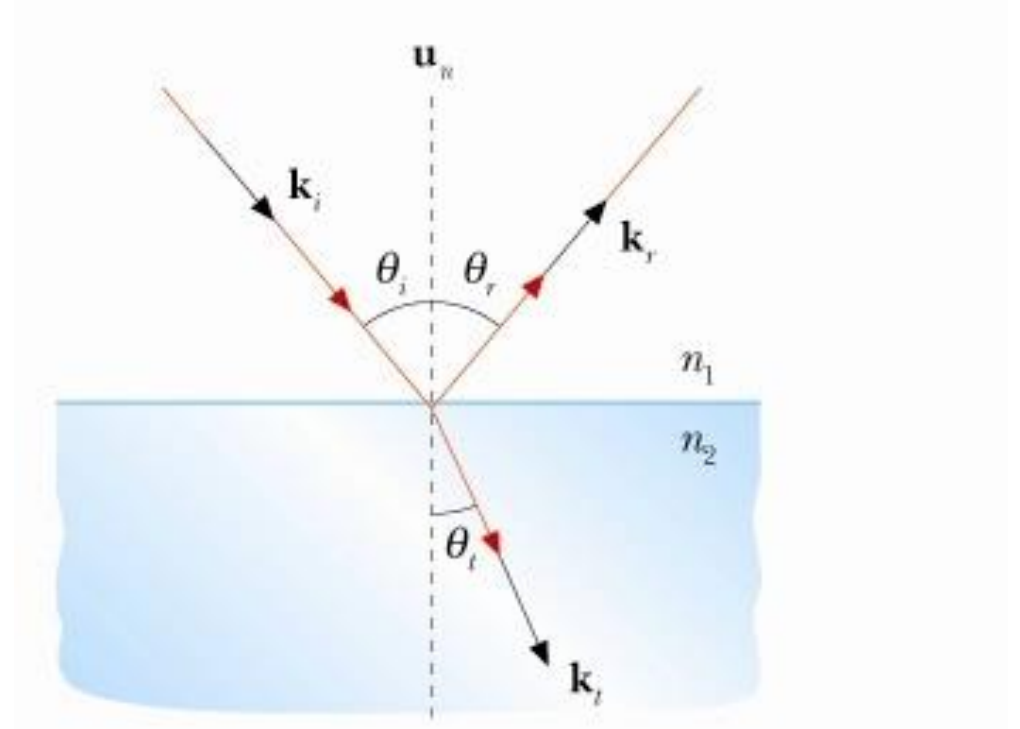


Ottica geometrica: legge della riflessione

- Consideriamo la superficie di interfaccia tra 2 mezzi con indici di rifrazione diversi, n_1 e n_2
- Il piano di incidenza è definito dalle direzioni del raggio incidente, di quello riflesso e di quello trasmesso
- Si definiscono gli angoli di incidenza, riflessione e trasmissione (o rifrazione) rispetto alla normale alla superficie di separazione

Prima legge di Snell: l'angolo di incidenza è uguale all'angolo di riflessione

$$\theta_i = \theta_r$$



Ottica geometrica: legge della rifrazione

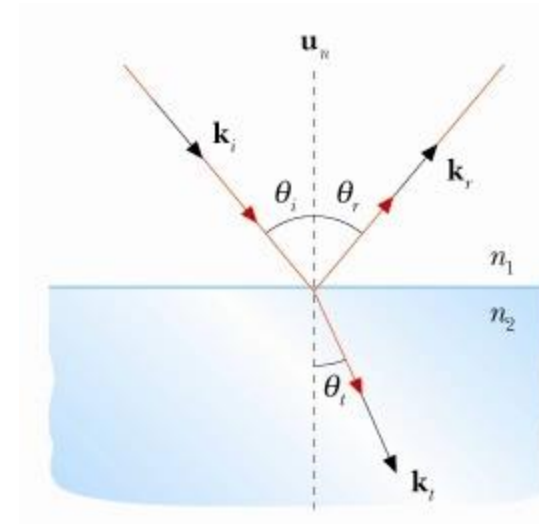
- Siano n_1 e n_2 gli indici di rifrazione del primo e del secondo mezzo
- Siano θ_i l'angolo di incidenza e θ_t l'angolo di rifrazione (trasmissione)

seconda legge di Snell:

$$n_1 \sin \theta_i = n_2 \sin \theta_t$$

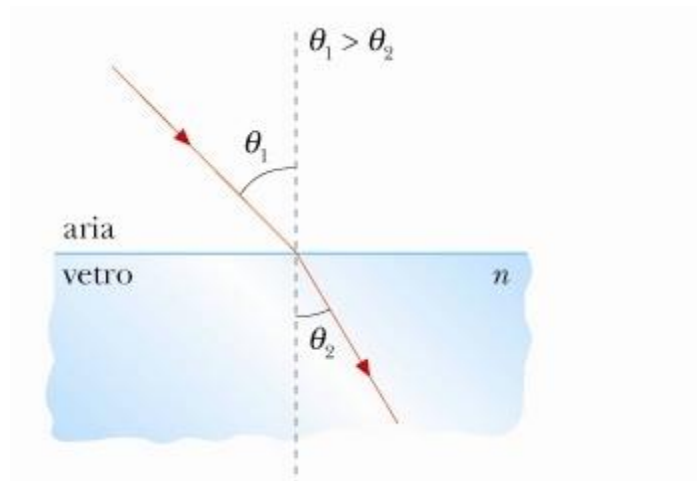
si evince che l'angolo di rifrazione sarà

- minore dell'angolo di incidenza quando $n_2 > n_1$
- maggiore dell'angolo di incidenza quando $n_2 < n_1$

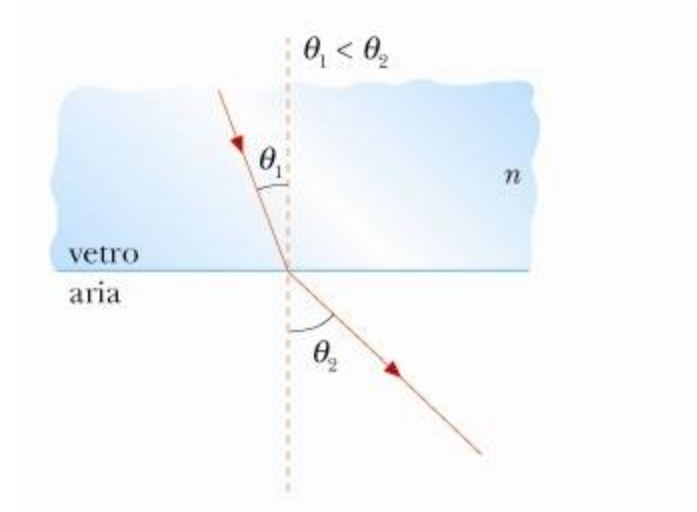


Rifrazione

- Passaggio aria vetro



- Passaggio vetro aria



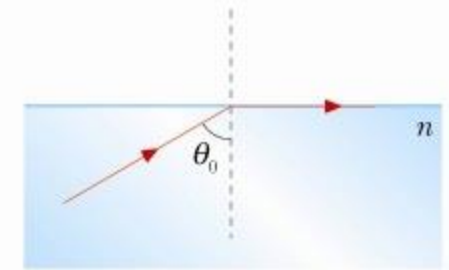
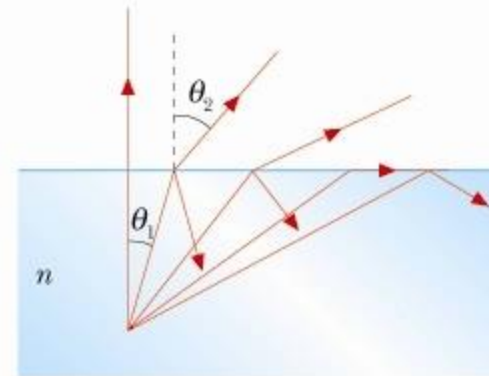
Ovviamente l'angolo di rifrazione varia a seconda che il passaggio della luce avvenga da un mezzo con n maggiore a uno con n minore o viceversa

l'angolo di rifrazione sarà

- minore dell'angolo di incidenza quando $n_2 > n_1$
- maggiore dell'angolo di incidenza quando $n_2 < n_1$

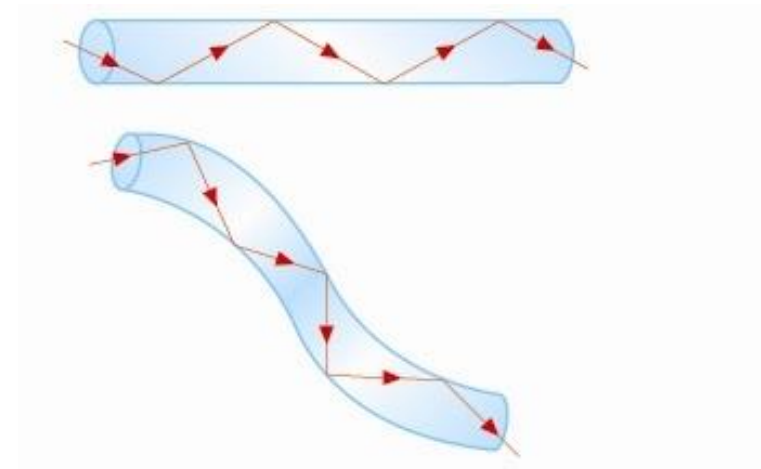
riflessione totale

- quando il passaggio avviene da un mezzo otticamente + denso a uno meno denso, come nel caso vetro-aria, l'angolo di rifrazione θ_t assume il valore massimo di 90° in corrispondenza di un angolo di incidenza definito **angolo limite**

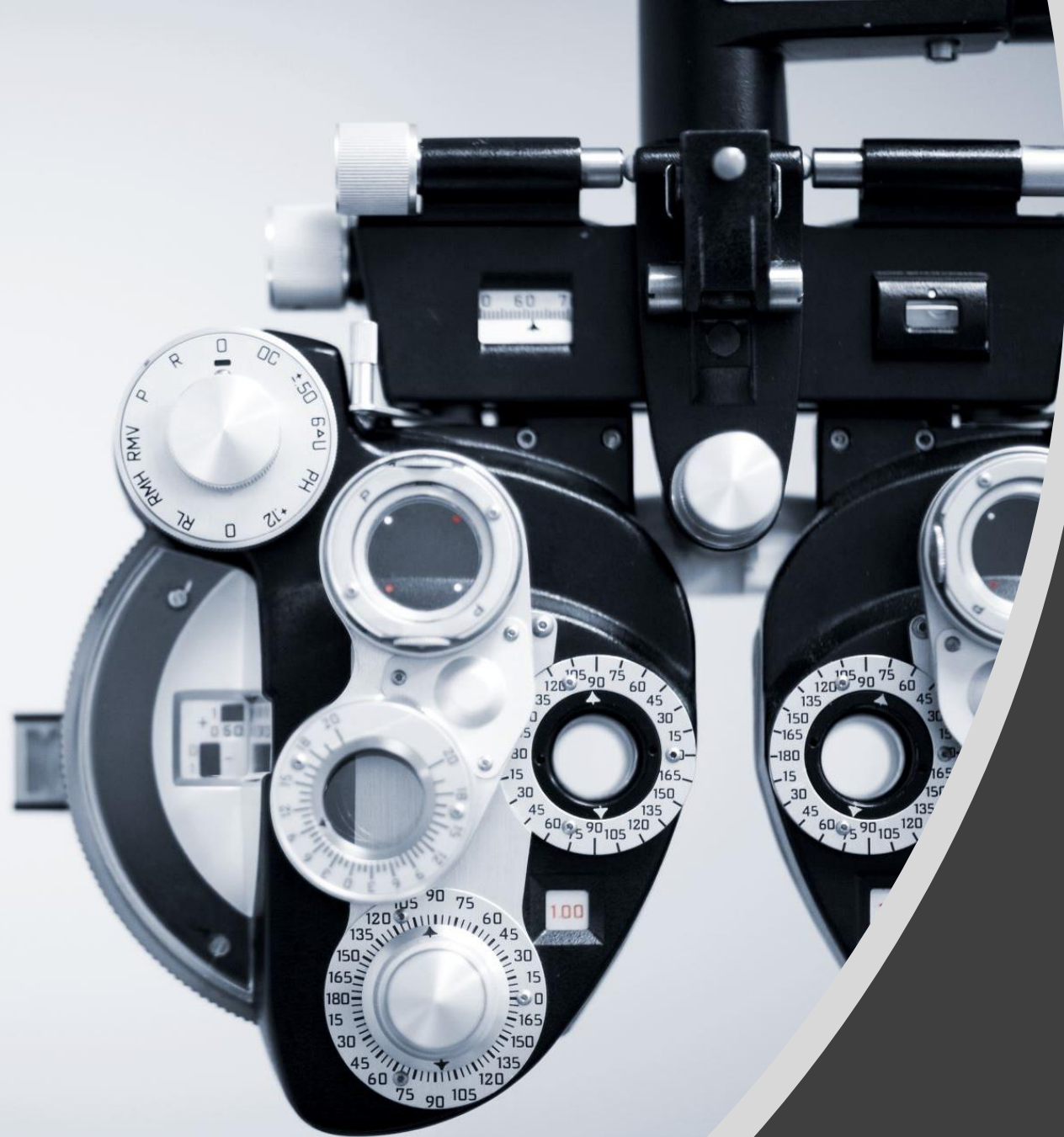


angolo limite

$$\theta_{lim} = \arcsin \frac{n_2}{n_1}$$



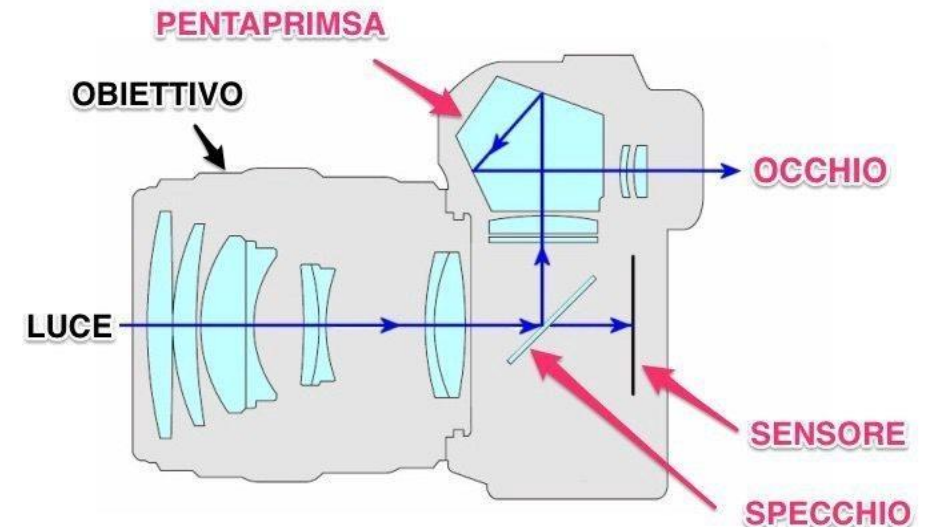
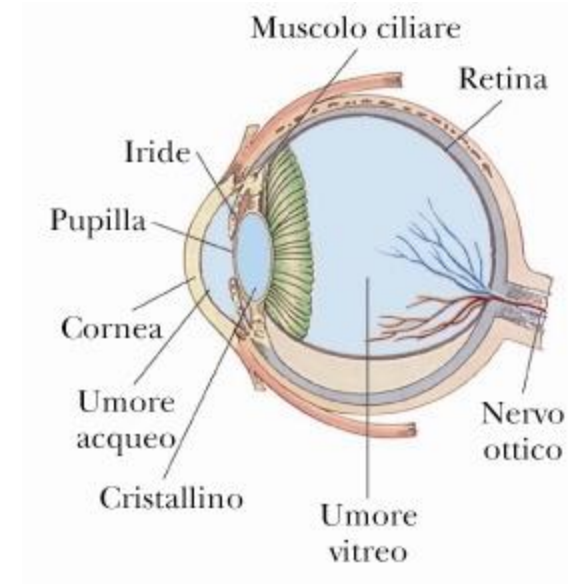
fibre ottiche



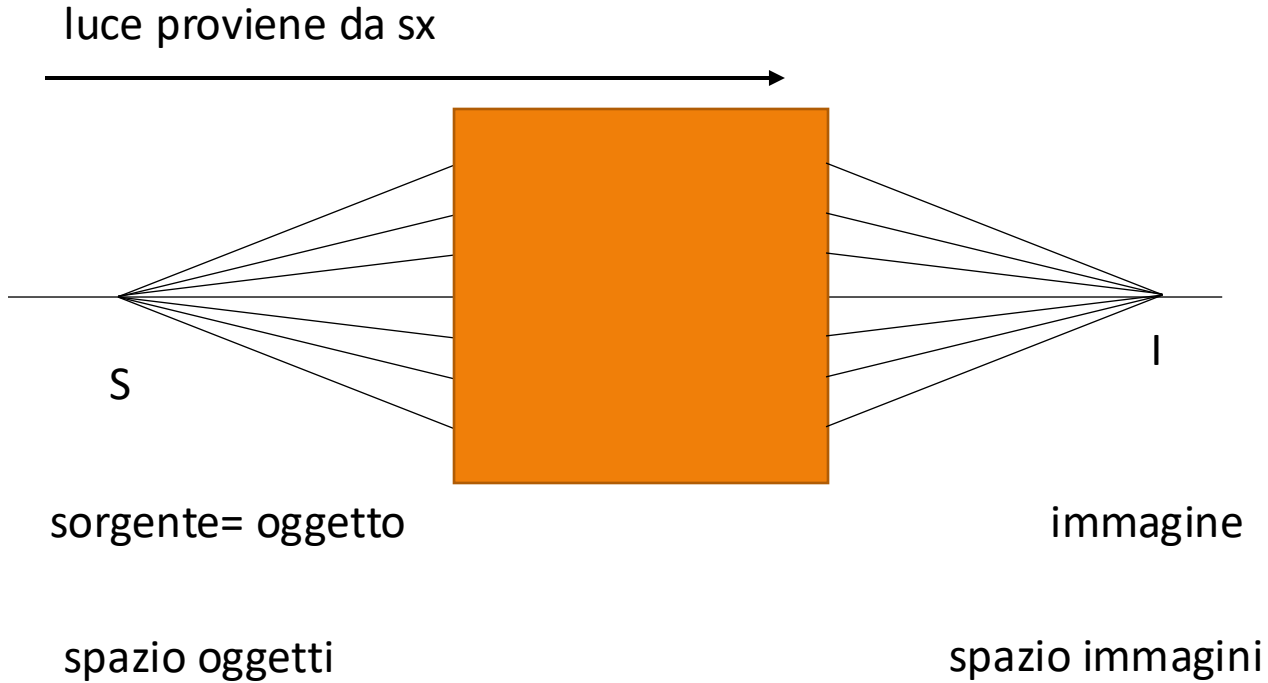
Sistemi ottici

Sistemi ottici

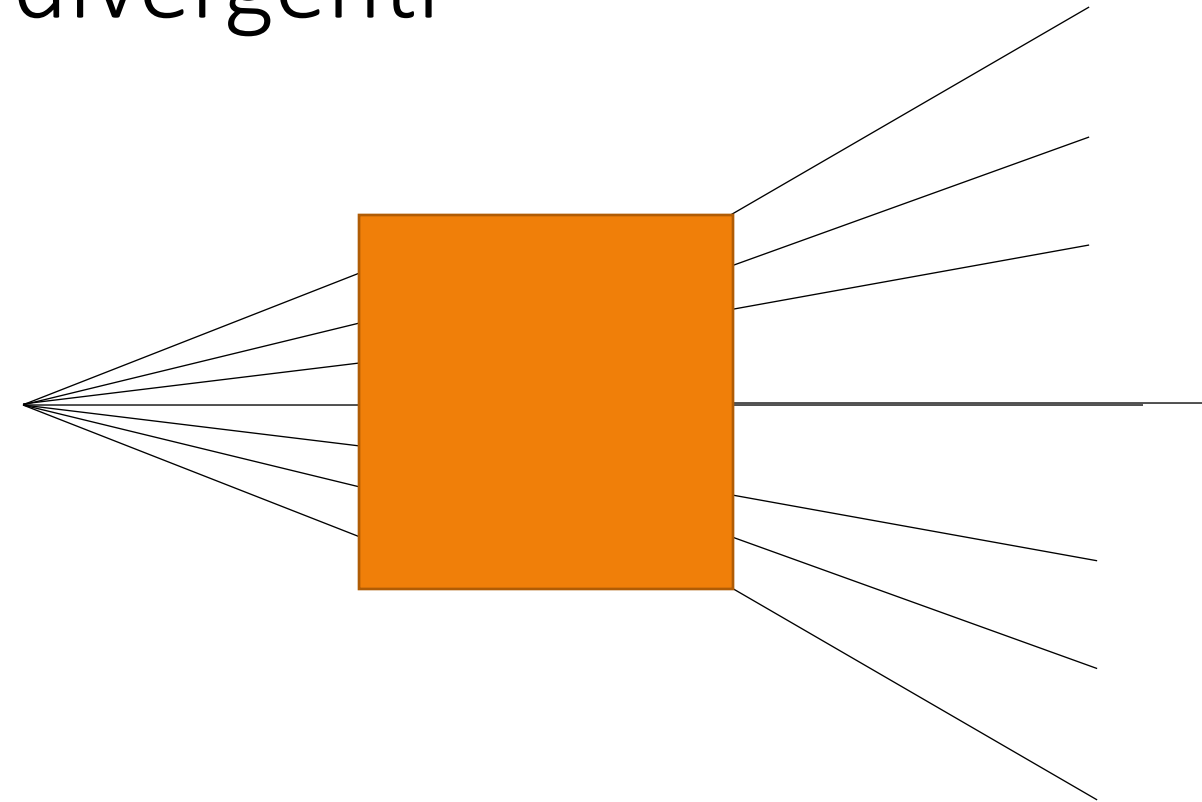
- La propagazione dei raggi luminosi avviene tipicamente attraverso mezzi diversi. L'insieme dei mezzi e delle superfici che li separano definisce un sistema ottico
- Un sistema ottico può essere composto da diversi elementi posti in successione lungo il percorso dei raggi luminosi
- Esempi:
 - macchina fotografica
 - telescopio
 - occhio umano



Sistemi ottici convergenti e divergenti

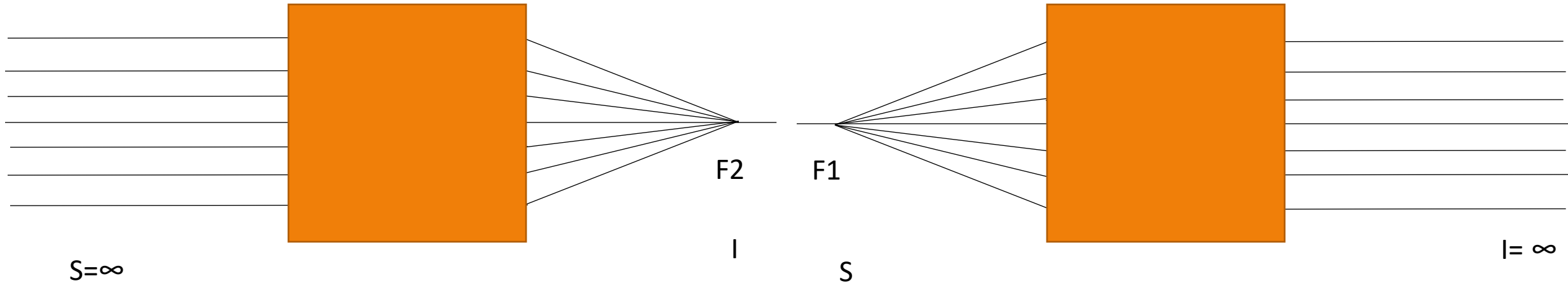


- Sistema convergente: raggi provenienti da sorgente puntiforme convergono in un punto detto immagine



- Sistema divergente: raggi divergono e non si forma un'immagine

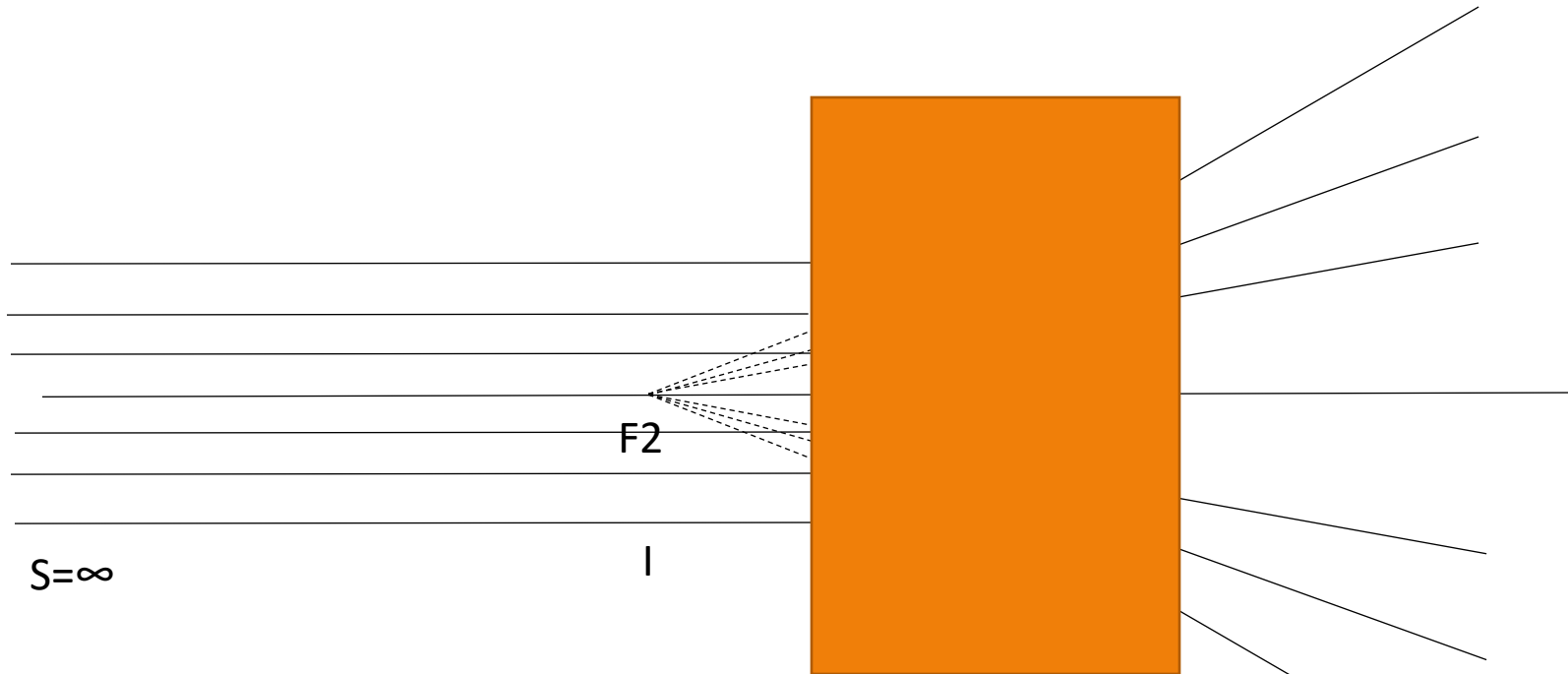
Sistemi convergenti: fuochi



- Secondo fuoco di un sistema convergente: punto in cui convergono i raggi provenienti da una sorgente posta all'infinito

- Primo fuoco di un sistema convergente: punto da cui provengono i raggi la cui immagine si forma all'infinito

Sistemi divergenti: fuochi



- Secondo fuoco di un sistema convergente: punto in cui convergono i raggi provenienti da una sorgente posta all'infinito
- I raggi divergenti vengono prolungati all'indietro verso la direzione di provenienza
 - linee a tratto continuo: raggi reali
 - linee tratteggiate: raggi virtuali
- l'immagine si crea a sx del sistema ottico, nello spazio degli oggetti: IMMAGINE VIRTUALE

Sistemi ottici, definizioni e convenzioni

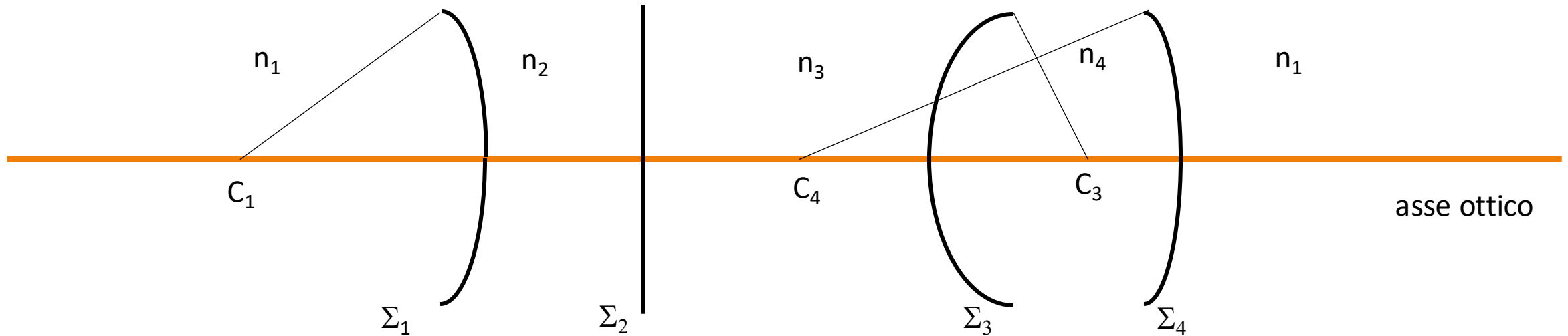
- Oggetto: corpo, puntiforme o esteso, che emette luce o la diffonde
- Immagine: punto in cui il sistema ottico fa convergere i raggi provenienti dall'oggetto
- Sistema stigmatico: sistema in cui tutti i raggi provenienti dall'oggetto convergono in un punto, detto immagine
- Oggetto e immagine sono detti punti coniugati
- L'immagine è reale quando formata da raggi reali, virtuale quando formata da prolungamenti virtuali dei raggi reali divergenti

Sistemi parassiali, approssimazione di Gauss

- La condizione di “stigmatismo” è difficile da raggiungere in un sistema ottico reale: l’immagine di un punto è quasi sempre estesa, non puntiforme
- Sotto certe condizioni è possibile ottenere un sistema quasi stigmatico
- l’insieme delle condizioni va sotto il nome di Approssimazione di GAUSS
 - asse ottico: asse di simmetria del sistema ottico
 - il fascio di raggi che incidono sul sistema ottico deve avere piccola apertura rispetto alle dimensioni del sistema (esempio: diametro della lente)
 - i raggi devono essere ragionevolmente parassiali, ovvero avere una piccola inclinazione rispetto all’asse ottico

Sistema ottico centrato: esempio

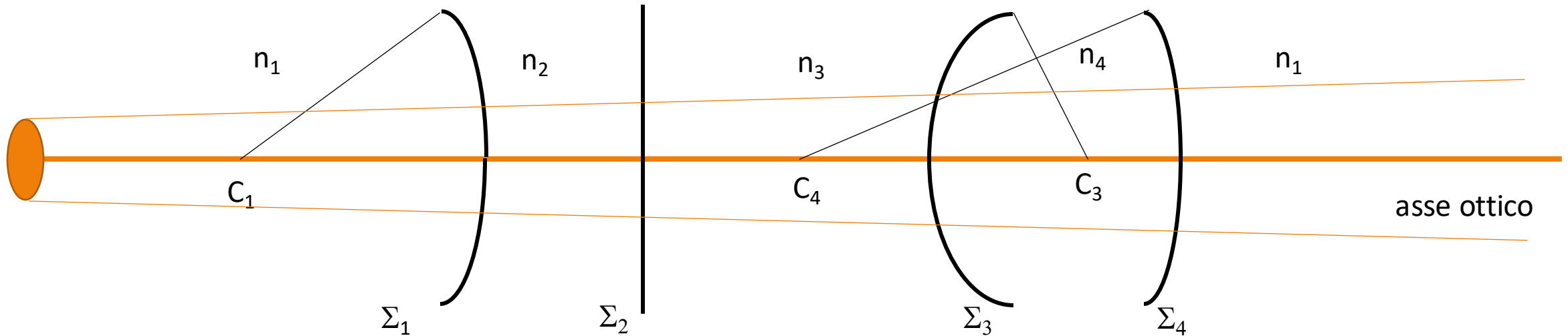
Supponiamo che il raggio si propaghi attraverso mezzi diversi, separati da diverse superfici



I centri di curvatura delle superfici giacciono sulla stessa retta che coincide con l'asse ottico

Sistema ottico centrato: esempio

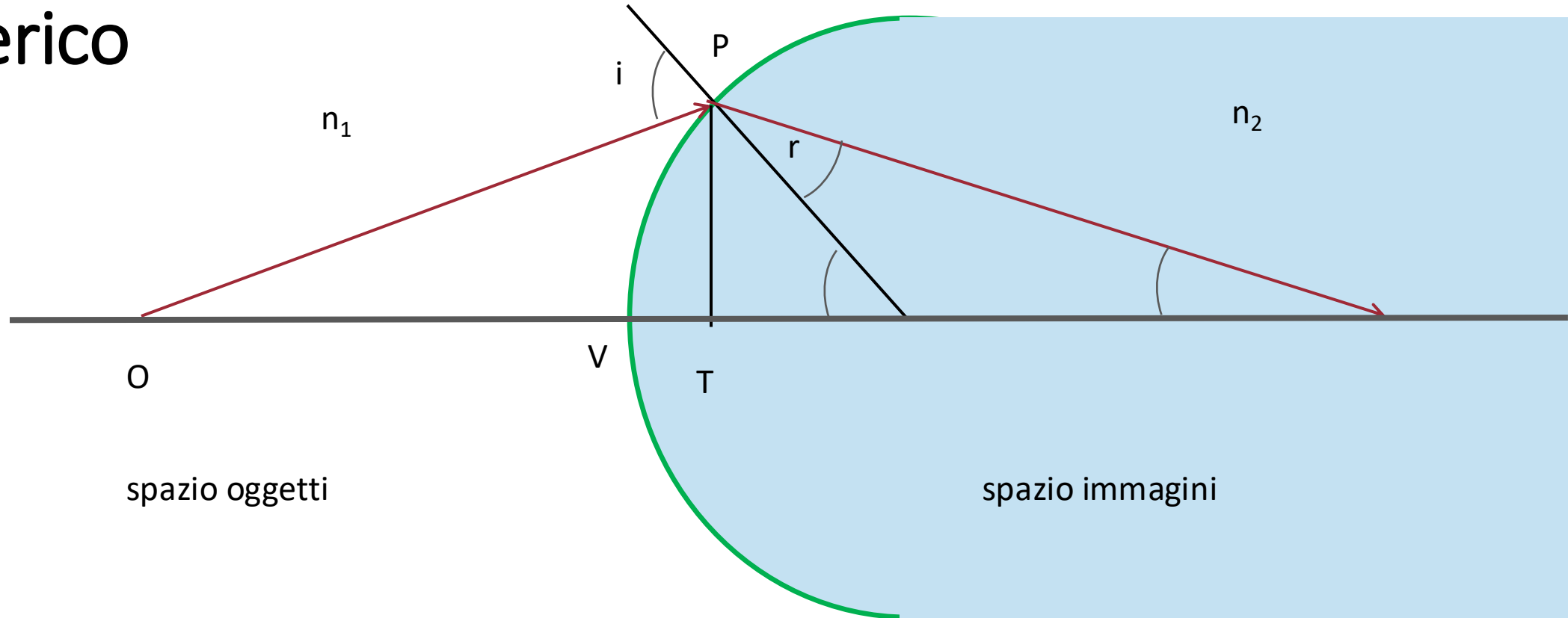
Supponiamo che il raggio si propaghi attraverso mezzi diversi, separati da diverse superfici



I centri di curvatura delle superfici giacciono sulla stessa retta che coincide con l'asse ottico

Approssimazione di Gauss: fascio di sezione inferiore alla dimensione delle superfici di separazione tra i mezzi, apertura angolare piccola (raggi parassiali)

Diottro sferico

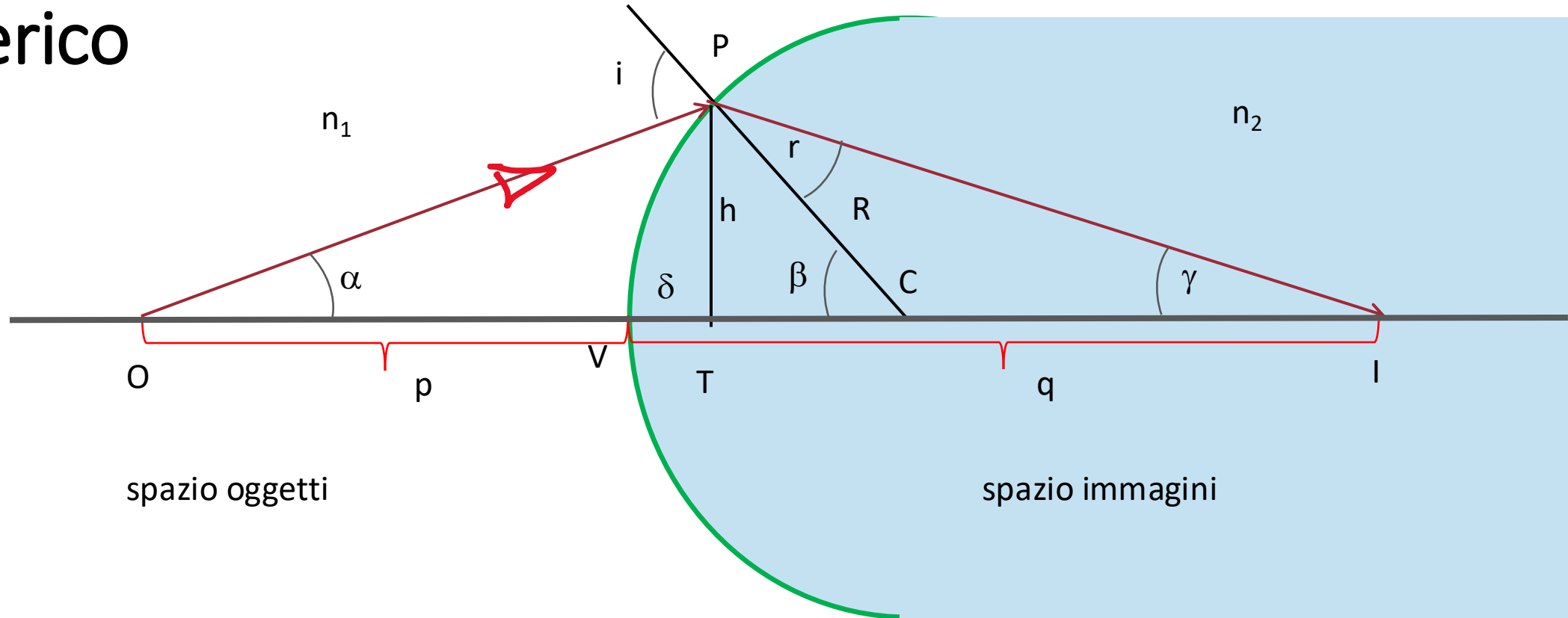


Un diottro sferico e' un sistema ottico costituito da due mezzi omogenei (di indice di rifrazione n_1 e n_2 diversi), trasparenti e isotropi, separati da una superficie sferica di raggio R

- l'asse ottico interseca la superficie sferica nel punto V . Questo punto e' preso come riferimento per la misura delle distanze
- O : oggetto

Consideriamo un raggio di luce che parte da O e incide sulla superficie S nel punto P

Diottro sferico

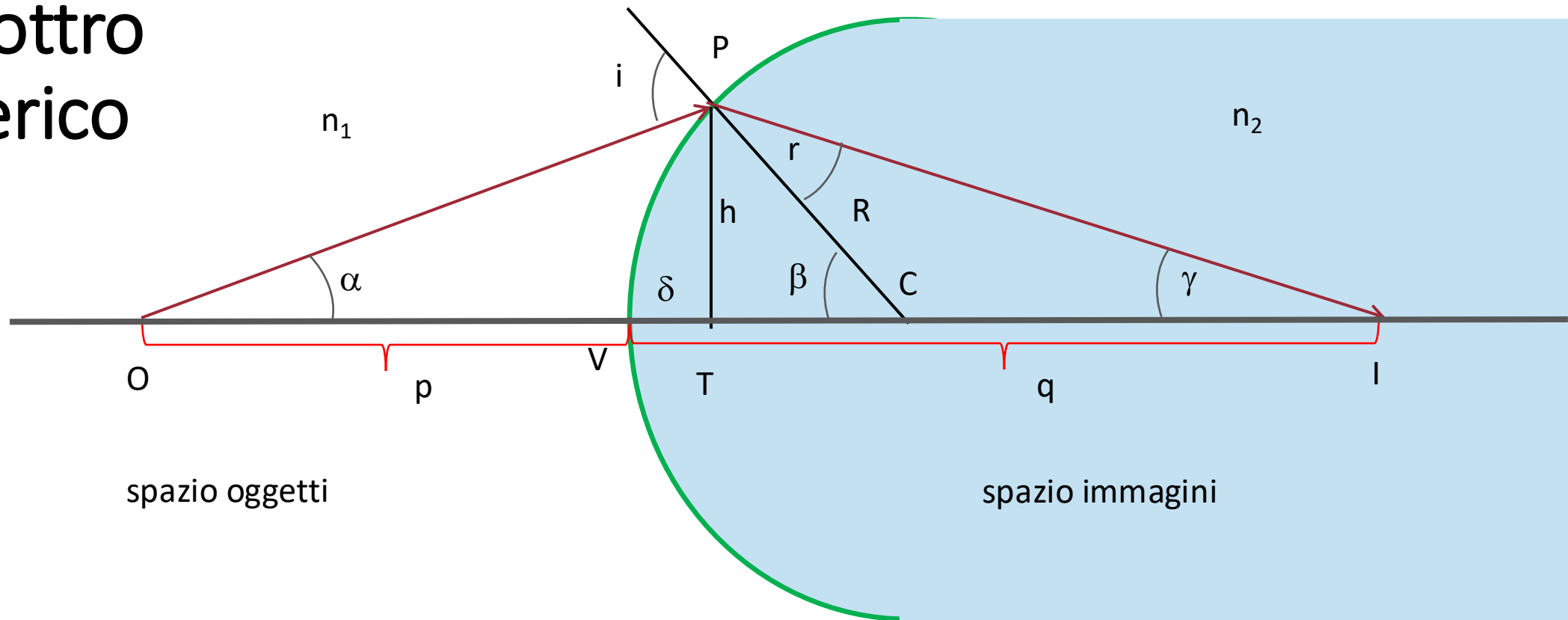


Un diottro sferico e' un sistema ottico costituito da due mezzi omogenei (di indice di rifrazione n_1 e n_2 diversi), trasparenti e isotropi, separati da una superficie sferica di raggio R

- l'asse ottico interseca la superficie sferica nel punto V . Questo punto e' preso come riferimento per la misura delle distanze
- O : oggetto

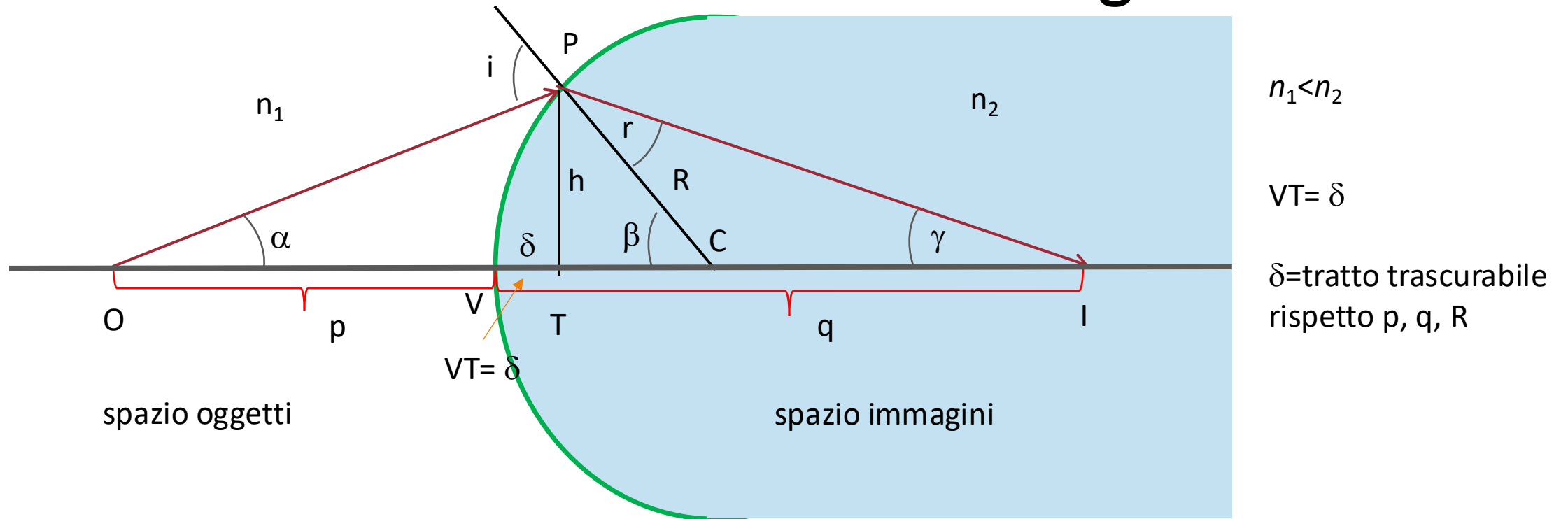
Consideriamo un raggio di luce che parte da O e incide sulla superficie S nel punto P

Diottro sferico



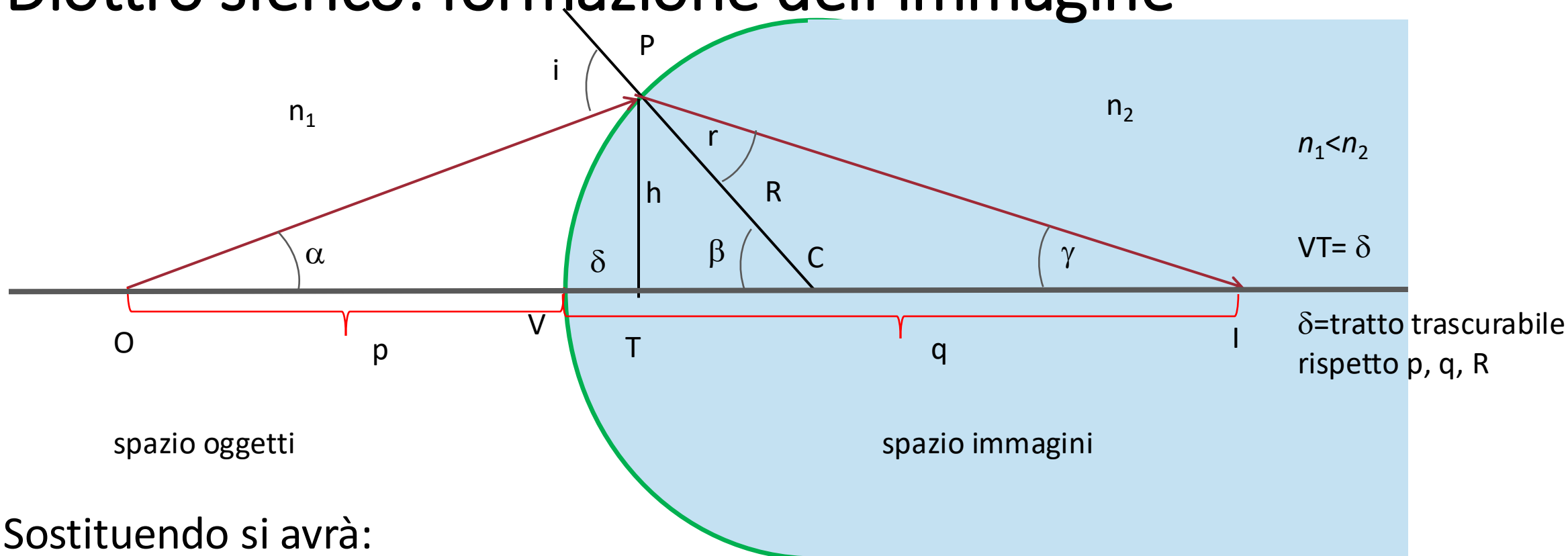
- p (distanza dell'oggetto dal diottro - OV):
 - > 0 (oggetto reale) per oggetti che si trovano, nello *spazio di incidenza o spazio oggetti*;
 - < 0 (oggetto virtuale) per oggetti che si trovano, *spazio di trasmissione o spazio immagini*
- q (distanza dell'immagine dal diottro - VI):
 - > 0 (immagine reale) per immagini nello spazio delle immagini o di trasmissione ("dietro" la superficie di separazione);
 - < 0 (immagine virtuale) per immagini nello spazio degli oggetti, o di incidenza ("davanti" alla superficie di separazione)
- raggio di curvatura R :
 - > 0 se il centro della superficie sferica e' nello spazio di trasmissione (diottro convesso: come in figura, $n_2 > n_1$);
 - < 0 se il centro della superficie sferica e' nello spazio di incidenza (diottro concavo)

Diottro sferico: formazione dell'immagine



- Consideriamo un generico raggio luminoso emesso dalla sorgente O con angolo α rispetto all'asse ottico; esso viene rifratto nel punto P e il raggio rifratto interseca l'asse ottico nel punto I .
- Posso applicare la legge di Snell nel punto P e scrivo $n_1 \sin i = n_2 \sin r$
- considerando le proprietà degli angoli si ricava che:
 - $i = \alpha + \beta$
 - $\beta = r + \gamma \rightarrow r = \beta - \gamma$

Diottro sferico: formazione dell'immagine



Sostituendo si avrà:

$$n_1 \sin(\alpha + \beta) = n_2 \sin(\beta - \gamma)$$

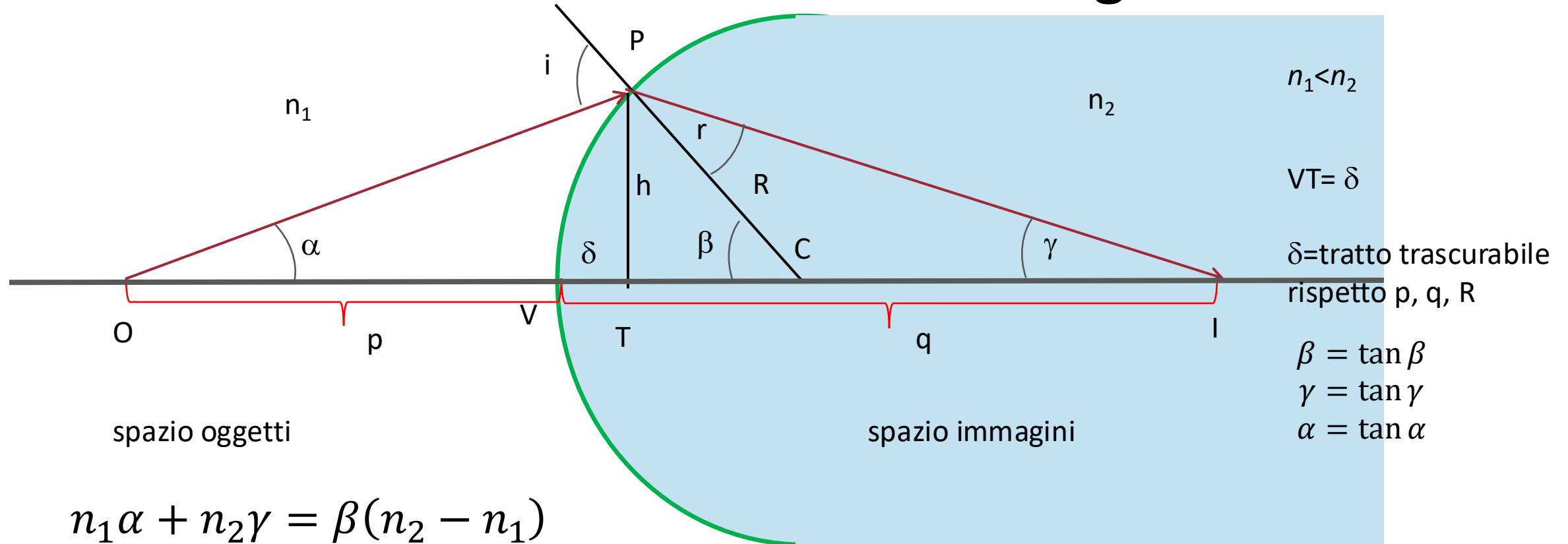
Ma considerando di essere nelle condizioni di validità dell'approssimazione di Gauss ($\sin \alpha \cong \alpha \cong \tan \alpha$) posso sostituire e ottengo:

$$n_1(\alpha + \beta) = n_2(\beta - \gamma)$$

da cui

$$n_1\alpha + n_2\gamma = \beta(n_2 - n_1)$$

Diottro sferico: formazione dell'immagine



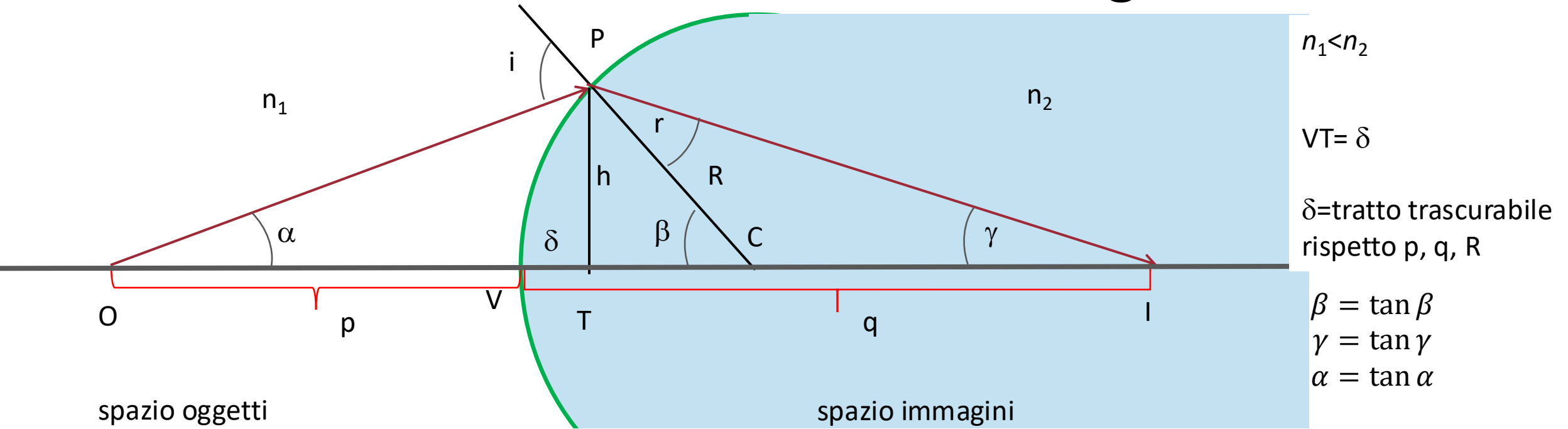
$$n_1 \alpha + n_2 \gamma = \beta (n_2 - n_1)$$

A questo punto posso applicare ancora l'approssimazione di Gauss, considerando che gli angoli possono essere approssimati alle tangenti

e che $\tan \beta = \frac{h}{R - \delta}$; $\tan \gamma = \frac{h}{q - \delta}$; $\tan \alpha = \frac{h}{p + \delta}$

si ottiene: $\frac{n_1}{p + \delta} + \frac{n_2}{q - \delta} = \frac{n_2 - n_1}{R - \delta}$

Diottro sferico: formazione dell'immagine



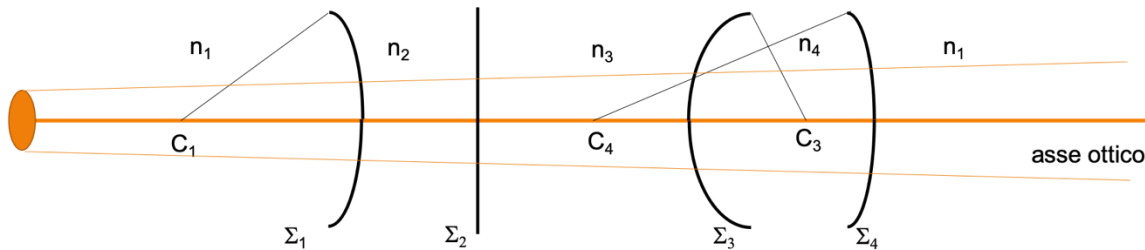
- $\frac{n_1}{p+\delta} + \frac{n_2}{q-\delta} = \frac{n_2-n_1}{R-\delta}$ diventa $\frac{n_1}{p} + \frac{n_2}{q} = \frac{n_2-n_1}{R}$

se assumiamo che il segmento δ sia trascurabile rispetto a p, q, R

- L'equazione del diottro ci fornisce una relazione tra la posizione p della sorgente e la posizione q dell'immagine **indipendentemente dal valore di α**
- in approssimazione di Gauss il diottro trasforma fasci omocentrici in fasci rifratti omocentrici.
- L'equazione del diottro e' detta anche equazione di Cartesio (formula di Abbe) e i punti di coordinate p e q che la soddisfano sono detti *punti coniugati* rispetto al diottro.

Sistema ottico centrato: convenzioni

Supponiamo che il raggio si propaghi attraverso mezzi diversi, separati da diverse superfici



Convenzioni:

- a. la luce proviene da sx, spazio degli oggetti si trova a sx del sistema ottico
- b. lo spazio delle immagini si trova a dx del sistema
- c. i raggi di curvatura sono positivi quando il centro si trova a dx della superficie, negativi quando si trovano a sx

Fuochi di un diottro sferico

- Se la posizione p della sorgente tende all'infinito, l'immagine si trova in un punto F_2 , posto a distanza f_2 dal diottro detto **secondo fuoco**;
- se l'immagine si forma a distanza infinita, l'oggetto si trova in un punto F_1 , detto **primo fuoco**, a distanza f_1 dal diottro: i raggi uscenti da F_1 si rifrangono parallelamente all'asse ottico.
- dall'equazione del diottro si ricavano i valori delle distanze focali f_1 e f_2

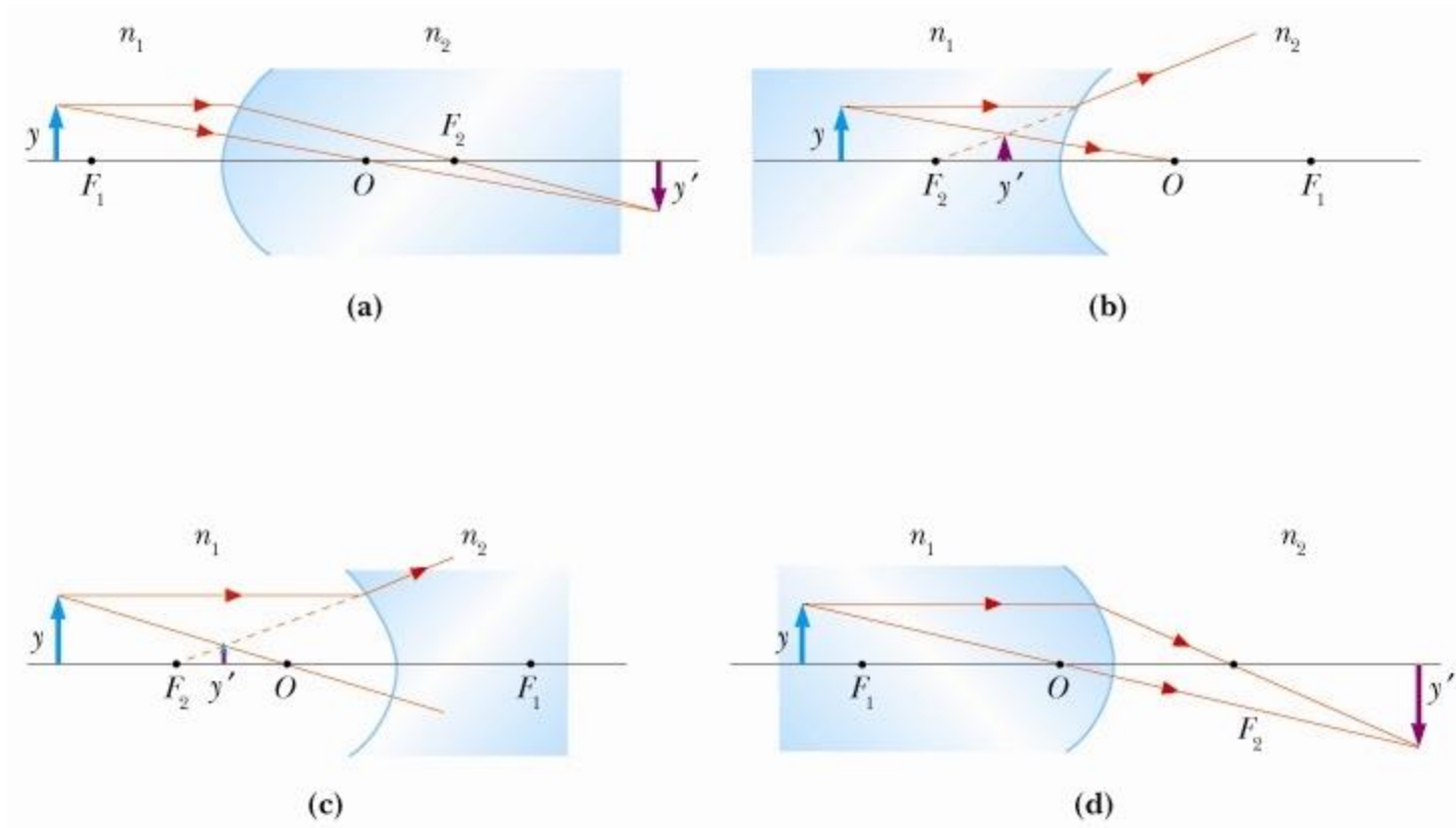
$$- f_2 = \lim_{p \rightarrow \infty} q = R \frac{n_2}{n_2 - n_1}$$

$$- f_1 = \lim_{q \rightarrow \infty} p = R \frac{n_1}{n_2 - n_1}$$

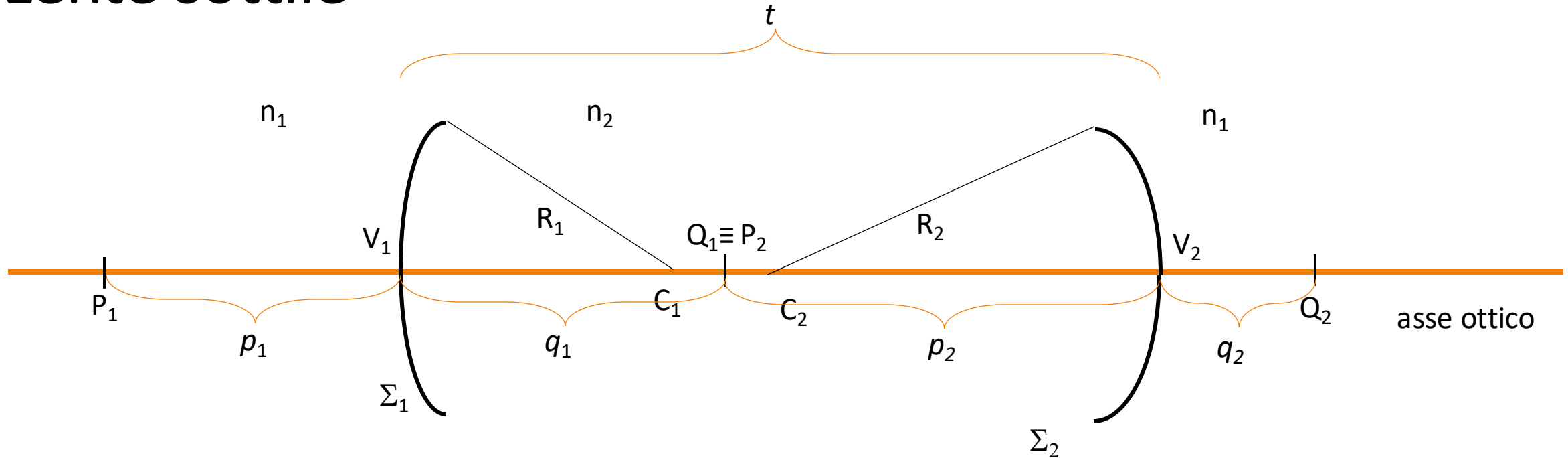
- l'equazione di Cartesio puo' essere riscritta come $\frac{f_1}{p} + \frac{f_2}{q} = 1$

da cui si ricava che se l'oggetto e' posto tra il primo punto focale e l'infinito ($p > f_1$), esso fornisce un'immagine reale, mentre fornisce un'immagine virtuale quando e' posta tra la superficie del diottro e il primo fuoco ($p < f_1$)

Diottro sferico: costruzione dell'immagine



Lente sottile

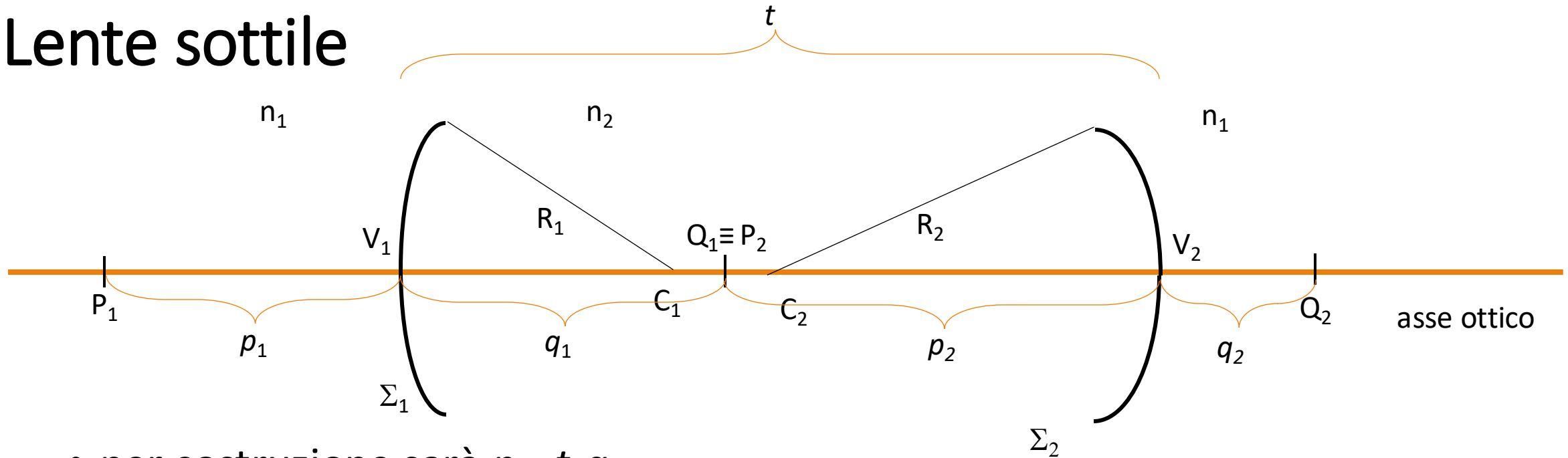


- supponiamo di avere 2 diottri sferici in successione, e sia t la distanza tra i 2 vertici
- scriviamo l'equazione di cartesio per il primo e per il secondo diottero, assumendo che l'immagine generata dal primo diventi oggetto per il secondo ($Q_1 \equiv P_2$):

$$\begin{aligned} - \frac{n_1}{p_1} + \frac{n_2}{q_1} &= \frac{n_2 - n_1}{R_1} \\ - \frac{n_2}{p_2} + \frac{n_1}{q_2} &= \frac{n_1 - n_2}{R_2} \end{aligned}$$

- per costruzione sarà $p_2 = t - q_1$

Lente sottile



- per costruzione sarà $p_2 = t - q_1$

$$- \frac{n_1}{p_1} + \frac{n_2}{q_1} = \frac{n_2 - n_1}{R_1}$$

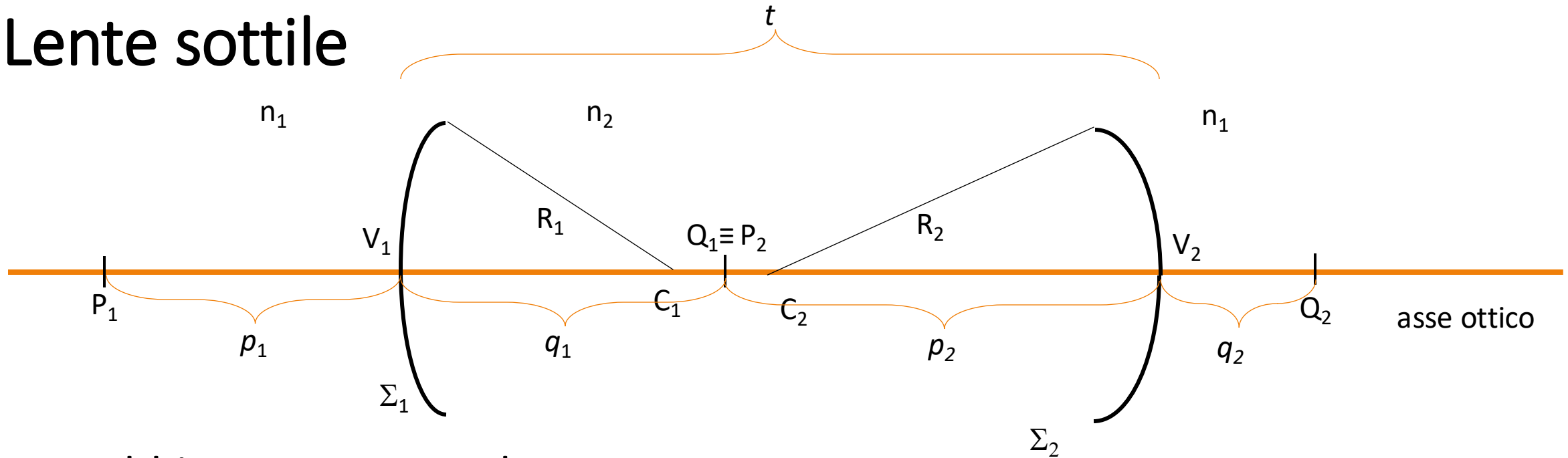
$$- \frac{n_2}{t - q_1} + \frac{n_1}{q_2} = \frac{n_1 - n_2}{R_2}$$

- supponendo t trascurabile rispetto alle altre grandezze in gioco ($t - q_1 \rightarrow -q_1$) e sommando membro a membro

$$- \frac{n_1}{p_1} + \frac{n_2}{q_1} - \frac{n_2}{q_1} + \frac{n_1}{q_2} = \frac{n_2 - n_1}{R_1} + \frac{n_1 - n_2}{R_2} \rightarrow \frac{n_1}{p_1} + \frac{n_1}{q_2} = (n_2 - n_1) \left(\frac{1}{R_1} - \frac{1}{R_2} \right)$$

$$\rightarrow \frac{1}{p_1} + \frac{1}{q_2} = \frac{(n_2 - n_1)}{n_1} \left(\frac{1}{R_1} - \frac{1}{R_2} \right)$$

Lente sottile



- abbiamo ottenuto che:

$$-\frac{1}{p_1} + \frac{1}{q_2} = \frac{(n_2 - n_1)}{n_1} \left(\frac{1}{R_1} - \frac{1}{R_2} \right)$$

- a questo punto possiamo definire

- $p_1 = p$ distanza oggetto
- $q_2 = q$ distanza immagine

$$\frac{1}{p} + \frac{1}{q} = \frac{(n_2 - n_1)}{n_1} \left(\frac{1}{R_1} - \frac{1}{R_2} \right)$$

Lenti sottili: fuochi

- l'equazione

$$\frac{1}{p} + \frac{1}{q} = \frac{(n_2 - n_1)}{n_1} \left(\frac{1}{R_1} - \frac{1}{R_2} \right)$$

- ci permette di definire i fuochi di una lente sottile

$$- f_2 = \lim_{p \rightarrow \infty} q = \frac{1}{f_2} \rightarrow \frac{(n_2 - n_1)}{n_1} \left(\frac{1}{R_1} - \frac{1}{R_2} \right) \quad f_1 = f_2 = f$$

$$- f_1 = \lim_{q \rightarrow \infty} p = \frac{1}{f_1} \rightarrow \frac{(n_2 - n_1)}{n_1} \left(\frac{1}{R_1} - \frac{1}{R_2} \right)$$

- riscriviamo l'equazione della lente sottile

$$- \frac{1}{p} + \frac{1}{q} = \frac{1}{f}$$

formula di Huygens

$$- \frac{1}{f} = \frac{(n_2 - n_1)}{n_1} \left(\frac{1}{R_1} - \frac{1}{R_2} \right)$$

equazione del costruttore di lenti

Lenti sottili: potere diottrico, punti coniugati, piano focale

- **Potere diottrico** o potere rifrangente: e' l'inverso della distanza focale espressa in metri. L'unita' di misura e' la **diottria**, cioe' il potere rifrangente di una lente con distanza focale di un metro:

$$P(\text{diottrie}) = 1 / f(\text{metri})$$

- Punto oggetto e punto immagine si dicono **punti coniugati**. Se il punto oggetto si muove su un piano, il punto immagine si muove su un altro piano: i due piani si dicono coniugati.
- I punti di un **piano focale** (piano perpendicolare all'asse ottico passante per un fuoco) hanno per coniugati punti all'infinito. Per questo tutti i raggi uscenti da un punto del piano focale hanno come immagine raggi tra loro paralleli

Lenti sottili convergenti

- Lenti convergenti: i raggi paralleli all'asse passano per F_2 nello spazio di trasmissione (a destra della lente) in cui le immagini sono reali. Per queste lenti $f > 0$. Si possono avere lenti convergenti in diverse configurazioni :

- lente biconvessa

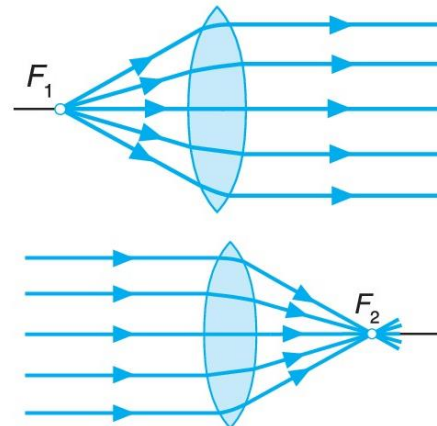
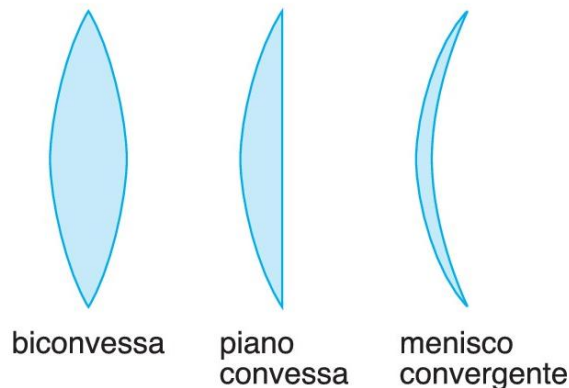
$$R_1 > 0 \quad R_2 < 0 \rightarrow f > 0$$

- lente piano convessa

$$R_1 > 0 \quad R_2 = \infty \rightarrow f > 0$$

- menisco convergente

$$R_1 > 0 \quad R_2 > 0 \text{ con } R_1 < R_2 \rightarrow f > 0$$



Lenti sottili divergenti

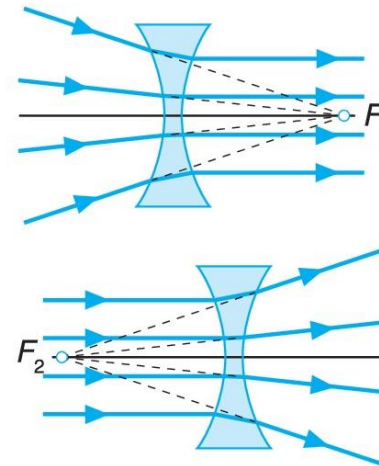
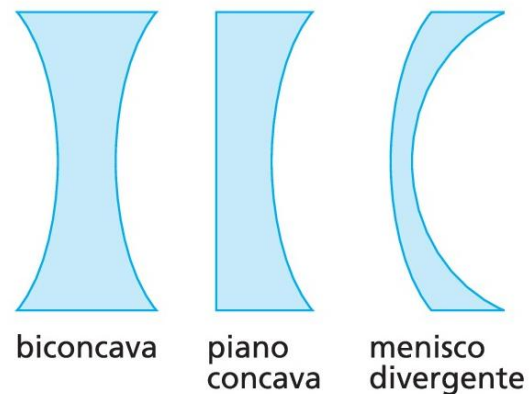
- Lenti divergenti: i raggi paralleli all'asse divergono: i loro prolungamenti si incontrano in F_2 nello spazio di incidenza (a sinistra della lente) in cui le immagini sono virtuali. Per le lenti divergenti $f < 0$. Si possono avere in diverse configurazioni:

- lente biconcava
- lente piano concava
- menisco divergente

$$R_1 < 0 \quad R_2 > 0 \rightarrow f < 0$$

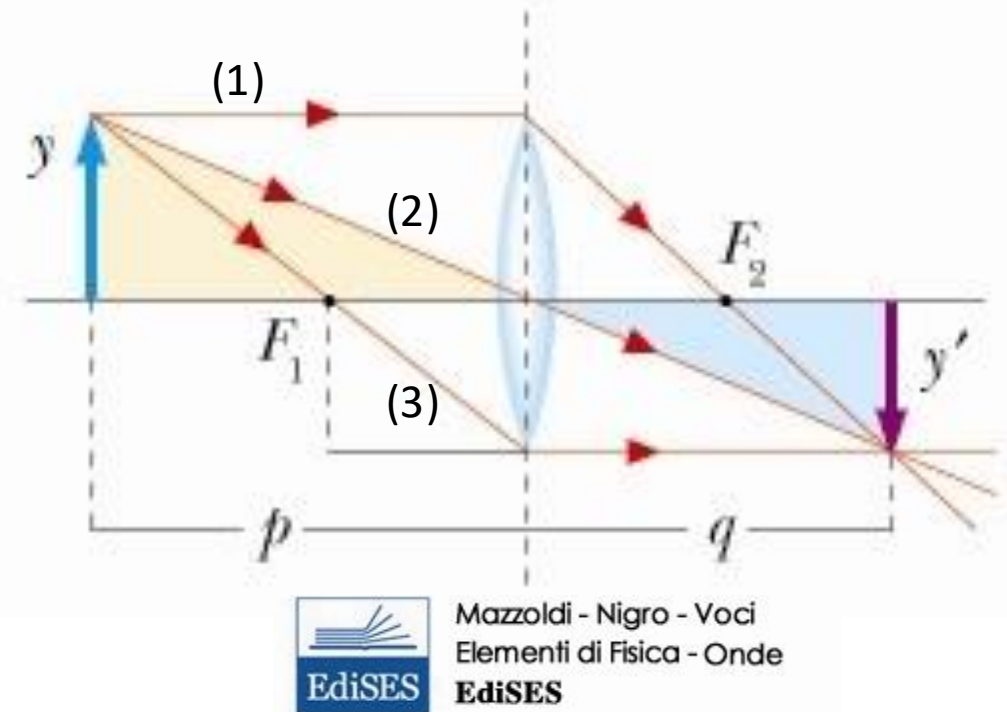
$$R_1 < 0 \quad R_2 = \infty \rightarrow f < 0$$

$$R_1 > 0 \quad R_2 > 0 \text{ con } R_1 > R_2 \rightarrow f < 0$$



Costruzione dell'immagine: lente convergente

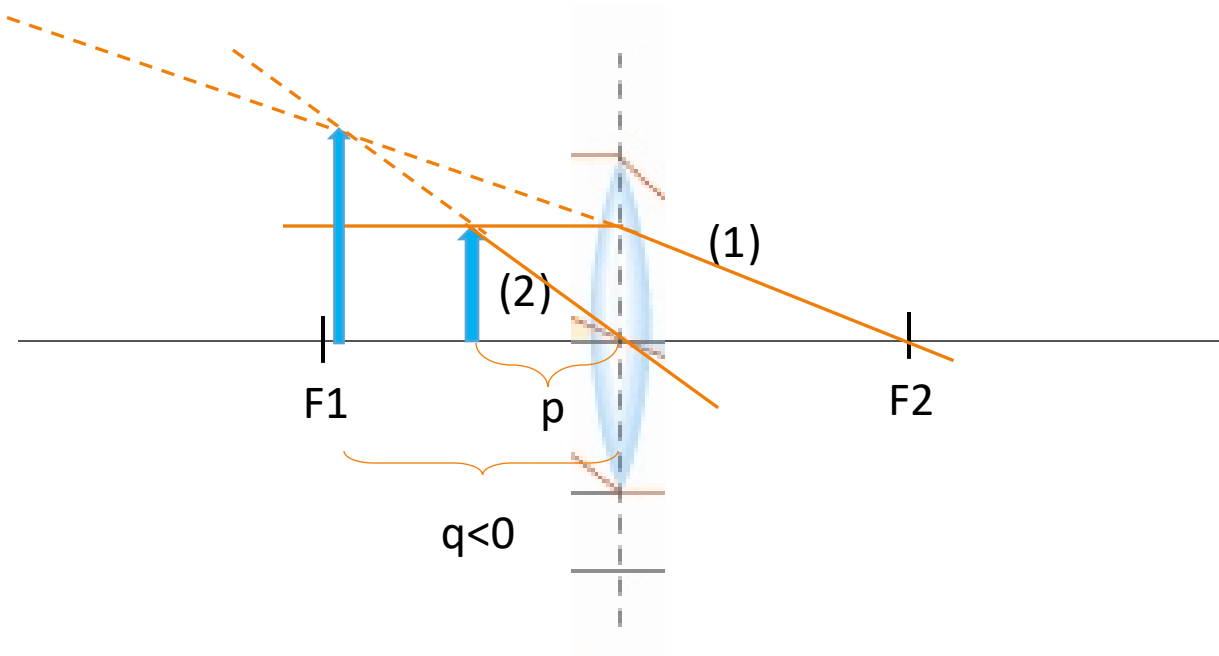
- Per costruire l'immagine di un oggetto si possono usare tre raggi
 - quello parallelo all'asse ottico che ha come immagine il raggio passante per il secondo fuoco (1),
 - quello che passa per il centro ottico, che non viene deviato (2)
 - quello passante per il primo fuoco che ha come immagine il raggio parallelo all'asse ottico (3).
- Con la stessa lente l'immagine è reale o virtuale a seconda della posizione dell'oggetto.



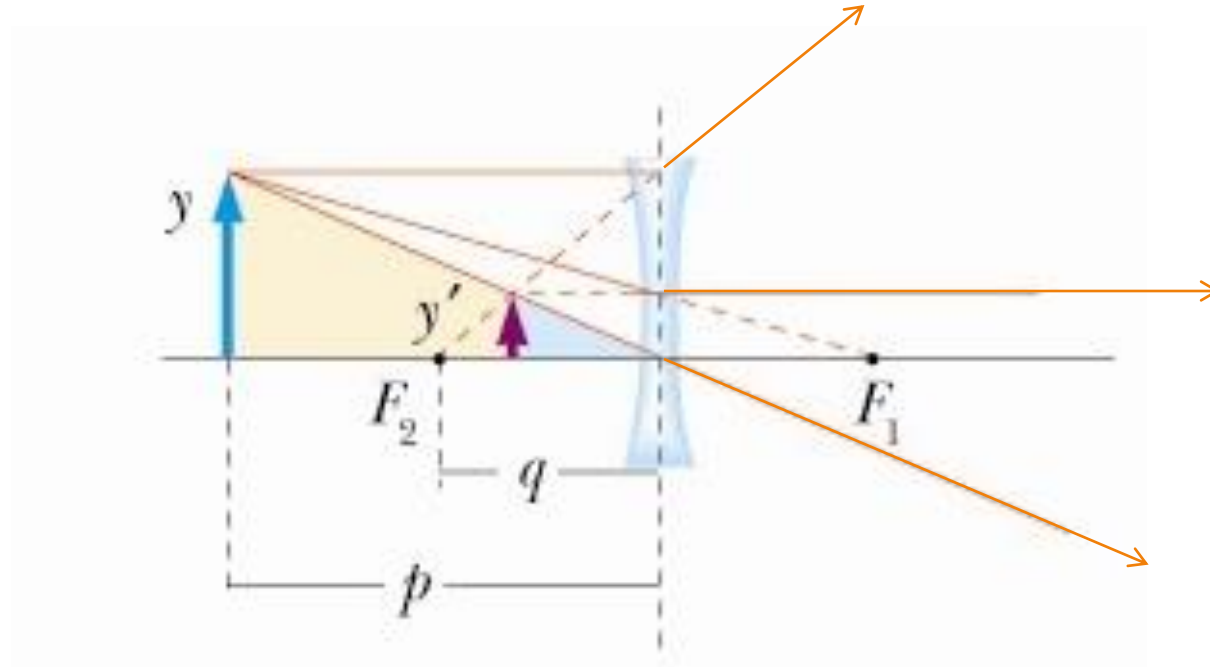
	> 0
p	sorgente reale
q	immagine reale
$f_1 = f_2$	lente convergente

Costruzione dell'immagine: lente convergente

- immagine virtuale ottenuta con una lente convergente: la distanza dell'oggetto dalla lente è inferiore alla distanza focale
- l'immagine è costruita sfruttando i prolungamenti dei raggi principali. Essi (linee tratteggiate) convergono in un punto nello spazio degli oggetti.
 - $q < 0$
 - immagine virtuale



Costruzione dell'immagine: lente divergente



Mazzoldi - Nigro - Voci
Elementi di Fisica - Onde
Edises

- lente divergente:
 - usiamo sempre i 3 raggi fondamentali ma poichè divergono dopo la lente è necessario tracciare i prolungamenti (tratteggiati) per identificare l'immagine

p

q

$f_1 = f_2$

< 0

sorgente virtuale

immagine virtuale

lente divergente